

Temi di esame - Elettronica delle Microonde

①

Tema di esame (L)

1) $n_{eff} = \sqrt{\epsilon_{eff}}$, dove ϵ_{eff} è la costante dielettrica efficace; si ha qualcosa del

tipo:

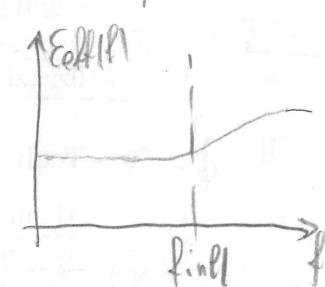


L'andamento di ϵ_{eff} è decrescente (infatti è ragionevole che un'impedenza si riduci quando allarga una linea). Si ricordi che:

$$Z_0 = \sqrt{\frac{\mu}{\epsilon}} i$$

la Z_0 cresce debolmente con V/V_L

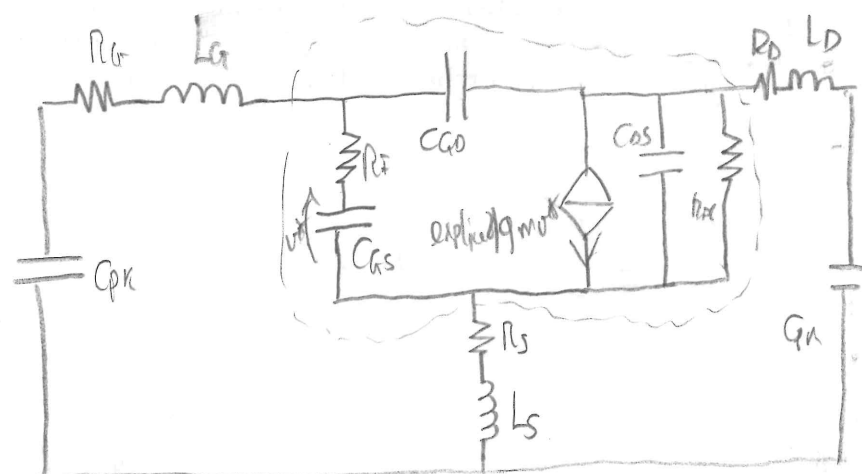
Le microstriscia è un esempio di linea dispersiva: al variare della frequenza, i suoi parametri subiscono delle variazioni. Uno di questi parametri nella fattispecie è proprio la permeabilità efficace, nonché i vari parametri a essa collegati, ϵ_{eff} , γ , e con γ il termine γ , di perdite (essendo $\gamma = jk = \alpha + j\beta$) la dispersività è ridotta dal fatto che usualmente ci si trova in un campo di frequenze elevato e sufficiente da trascurare γ e R nella Z_0 . Si ha che la linea è "debolmente" dispersiva, fino alla frequenza di inclessione, frequenza prossima a quella del 1° modo superiore (ibrido).



In la frequenza varia il contributo dell'effetto pelle: a seconda della frequenza, si avrà più o meno corrente sulla "pelle" della linea, dunque per questo si ha una impedenza serie variabile. Esempi di substrati sono il teflon, l'alumina, FR4; la striscia in oro, argento, rame o altri conduttori, può andare per esempio da 500 nm ($\frac{1}{2}$ mm) a qualche mm; la dimensione inferiore è detta del metallo con cui si realizza la striscia; quella superiore è più a buon uso; cercar di evitare linee più larghe che lunghe.

2) Il modello di piccolo segnale

di un FET può esser il seguente: la parte tranneata è quella "intrinseca", quella fuori quella "estrinseca" (dovuta a problemi delle interfacce o del packaging).



C_{GS} e C_{GD} : si tratta di capacità di svolgimento derivanti dalla quantità Schottky; (2) nella realtà, queste dovrebbero essere capacità distribuite, non concentrate: per ogni punto del canale si dovrebbe vedere una capacità diversa essendoci una variazione dello spazio.

R_i tiene conto del punto precedente: dell'effetto "distribuito". Con R_i , si tiene conto del fatto che la tensione che pilota il dispositivo non è proprio V_{GS} , bensì 0^* : la sola tensione su C_{GS} .

C_{GD} è una capacità "scamoda": essa accoppia i lati destro e sinistro del modello di segnale. Spesso la si "trascura", al fine di rendere il dispositivo unilaterale e dunque i conti molto più semplici. Si ha un ritardo τ , dell'ordine dei ps, che modella la latenza degli elettroni. C_{DS} è una capacità dovuta al substrato.

Per il circuito estrinseco, P_{oL} e P_s sono principalmente dovute alla resistenza dei semiconduttori, P_a all' spessore della metallizzazione di gate; le L_i , alla corrente concatenata nelle metallizzazioni.

3) La cifra di rumore è un parametro in grado di quantificare le prestazioni, in tema di rumore di un qualche dispositivo. Nellalettispecie, esse può essere definita nella seguente maniera:

$$NF = \frac{P_{oL}}{P_{oL}'} \quad \text{dove: } P_{oL} = P_{oL}' + P_{oL}''$$

si tratta sempre di potenze disponibili, dove la prima è la TOTALE, la seconda (P_{oL}') la potenza sul canale dovuta al rumore NON introdotto dal 2-ponte P_{oL}'' quella del "sob fit"

$$\hookrightarrow = \sqrt{1 + \frac{B_{nL}'}{B_{nL}''}}$$

Questo parametro è sempre > 1 (ϕ dB).

Entrando nel merito degli amplificatori, si ha qualcosa di questo tipo: P_L non influenza la potenza disponibile sull'uscita, dunque non ci interessa; P_g al contrario è importante: al variare di P_g , varia la potenza disponibile di rumore sull'uscita. Per "rendere indipendenti" i generatori equivalenti di rumore in ingresso, si deve ricorrere a un trucco di questo tipo:

$$j = Z_{ng} - Z_{nc} + j(Z_c + Z_g) \rightarrow S_o = S_{eng} + S_{enc} + S_i |Z_c + Z_g|^2 = 4k_B T R_g + L_{nc} T R_c + L_{ng} T R_g$$

$$\hookrightarrow NF = \frac{S_o}{S_{eng}} = \frac{L_{ng}(R_g + R_c + q_n |Z_c + Z_g|^2)}{L_{ng} + R_g} \approx 1 + \frac{R_c}{R_g} > \frac{q_n}{R_g} |Z_c + Z_g|^2$$

derivando rispetto a R_g , e annullando,

$$\hookrightarrow R_{gopt} = \sqrt{\frac{R_n}{q_n} + R_c^2} ; X_{gopt} = -X_c$$

Quando si imposta P_g , si ottiene una Nf_{min} : la minima cifra di rumore ottenibile con il dispositivo in questione.

Il problema è che usare questa P_g non comporta avere un guadagno non massimo, e generalmente persino basso: basso rumore e guadagno elevato sono specifiche antagoniste. Non solo: abbassare il rumore significa oltre ad avere un guadagno basso, disadvantaggio: ciò comporta avere delle riflessioni nel sistema, riflessioni che vanno in qualche modo attenuate, per evitare la nascita di bops.

Un LNA dovrebbe avere G elevato, ossia il 1° blocco della catena (vedi formula di Friis), dunque ciò che di fatto si fa è sacrificare (un poco) la c.a. di rumore, per adattare comunque all'ingresso del sistema; generalmente si introduce una L_G e una L_S , e le si usano per adattare all'ingresso.

Tema di esame (2)

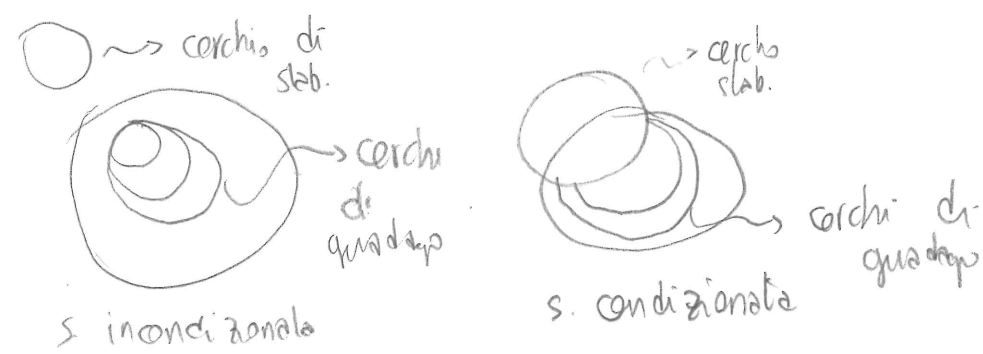
1) Essendo gli amplificatori a ponte sistemi a guadagno molto elevato, occorre porsi il problema della stabilità; anche ad anello aperto si potrebbe avere riflessioni. > altri eventi che, a una qualche frequenza, possono far saturare l'amplificatore. Si parla di "stabilità condizionata": quando, se il cavo o il generatore cambiano, si rischia di passare ad uno stato instabile, stabilità incondizionata: ha quindi per qualsiasi terminazione passiva si ha la certezza di restare, per ogni f , in stabilità.

Si può ricavare il fatto che un 2-ponte caricato e compatti come la soluzione di un certo sistema Lanch si garantisce la stabilità se il sistema omogeneo associato ha solo le soluzioni banali: in altri casi, infatti, si avrebbero modi non generali da una sorgente, ma da una oscillazione che si propaga. SI PUÒ RICAVARE CHE:

$$\text{se } \begin{cases} (1-S_{11}M_L)(1-M_L\Gamma_{out}) = 0 \\ (1-S_{22}M_L)(1-\Gamma_G\Gamma_{in}) = 0 \end{cases} \quad \begin{array}{l} \text{il sistema è} \\ \text{potenzialmente instabile.} \end{array}$$

Usualmente, $|M_L|, |\Gamma_{in}|, |\Gamma_{out}|$ (terminazioni passive), $S_{11} \neq S_{22}$ L_1 : ciò che ci spaventa, dunque, è: $\begin{cases} 1-M_L\Gamma_{out} = 0 \\ 1-\Gamma_G\Gamma_{in} = 0 \end{cases} \rightarrow$ se $|M_L\Gamma_{out}|L_1$ abbiamo $\Gamma_G\Gamma_{in}|L_1$, stabilità incondizionata. ($\forall M_L, \Gamma_G$ passivo)

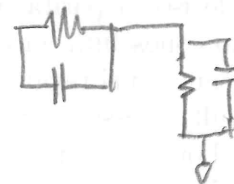
Cosa si fa? Date le leggi $\Gamma_{in} = \dots$, $\Gamma_{out} = \dots$, si mappa l'insieme dei M_L passivi sul dominio dei M_L , e viceversa $\Gamma_{out} \neq \Gamma_G$: si proiettano sulle cd's le conformazioni delle trasf. bilineari; esse andiamo in cerca. Se il cerchio è \geq delle cd's, abbiamo stab. incondizionata.



Per aver la garanzia della stab. incondizionata, esiste un certo insieme di parametri, visualizzabili al variare di f : uno è il coeff di Lurville, K : se $K > 1$, il sistema può esser stabile; in realtà è una condizione necessaria, ma non sufficiente (anche se lo è quasi sempre): si ha un numero di seconda-condizioni, tra cui per esempio $D_s L \Phi$, che completano la gar.

Esistono due coefficienti, μ_1 e μ_2 , che permettono di determinare ($s > 1$) la stabilità del sistema (incond.) senza bisogno di altre condizion.

Per il progetto, si procede visualizzando uno dei due parametri; questo è fe per frequenze da molto bassa a quelle in uso (oltre non serve: dovrebbe bastare così), e se il sistema è instabile lo si stabilizza, mettendo sul gire qualche del bypass.

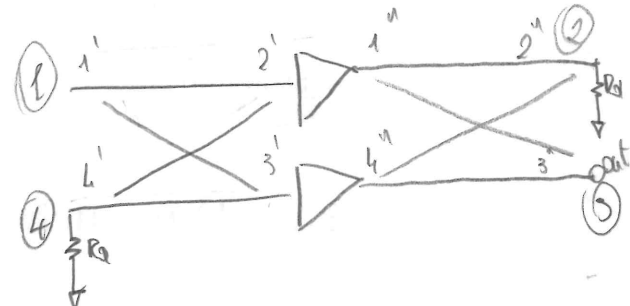


si tende a evitare lo stesso.

2) Si consideri una coppia di amplificatori progettati con adattamento in ingresso o uscita (per esempio perché è banda larga, non reazionali); ciò che si può fare per avere adattamento in ingresso, quando accettabile su una banda accettabile, è utilizzare degli accoppiatori direzionali: essi devon essere accoppiati a 3 dB, dunque ibridi, e a 90° (branch-line per esempio).

Come funziona questo schema? In sostanza si ha:

$$b_1 = \frac{1}{\sqrt{2}} [a_2 - j a_3] \quad ; \quad b_2 = \frac{1}{\sqrt{2}} [a_1 - j a_4] \quad ; \quad b_3 = \frac{-j}{\sqrt{2}} a_1 \\ a_2 = R_L b_3 \quad ; \quad a_1 = R_L b_2 \quad ; \quad a_3 = \frac{-j}{\sqrt{2}} R_L a_1 \\ a_4 = \frac{-j}{\sqrt{2}} R_L a_2 \quad \rightarrow b_1 = \Phi$$



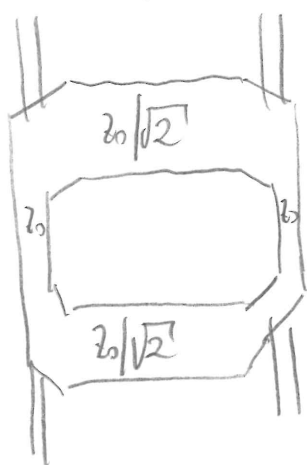
$$S = \frac{1}{\sqrt{2}} \begin{bmatrix} 0 & 1 & -j & 0 \\ 1 & 0 & 0 & -j \\ -j & 0 & 0 & L \\ 0 & -j & L & 0 \end{bmatrix}$$

Il fatto che alle porte 2 e 4 c'è adattatore fa trattare le resistenze R_p come dei "cestini", dove si va a buttar via le riflessioni, di fatto adattano gli ingressi del sistema finale, mantenendo "disattutati" gli amplificatori.

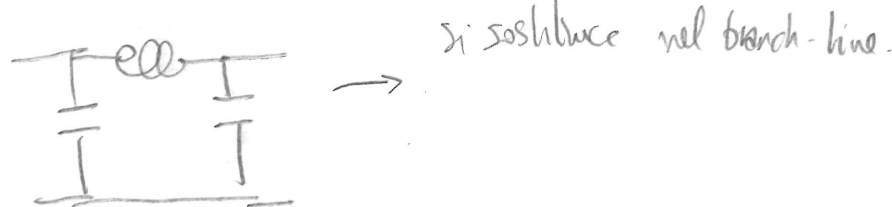
Tutto ciò funziona a patto che i due amplificatori siano molto simili tra loro; il guadagno risultante è $|S_{21}|^2$.

La realizzazione in ibrido o monolitico è riconducibile alla realizzazione dell'acoppiamento.

Si ha che conviene usare, come detto, un branch-line, dunque una struttura del tipo:



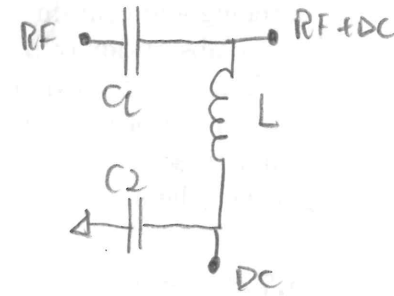
Questa struttura, specialmente per circuiti monolitici, può esser esportata in parametri concentrici: se si modella una linea di trasmissione come:



Questa soluzione funziona ma in un range limitato di frequenze.

3) Quello della polarizzazione è un problema molto complicato: è infatti necessario, al momento della polarizzazione, disaccoppiare DC e RF e unirle solo all'ingresso o all'usata del FET. Non si deve assolutamente mandare nel circuito RF la DC, poiché si dissiperebbe troppa potenza e viceversa: si devono entrambi sì e in un verso sia nell'altro.

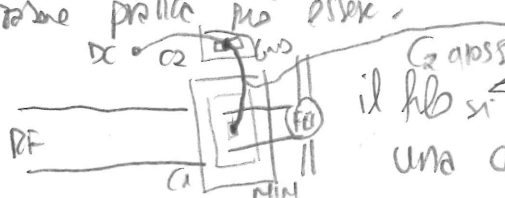
Lo schema concettuale è sostanzialmente il seguente: L blocca la RF ma la passa la DC; C1 fa il contrario: la passa la RF, ma non la DC. C2 rinforza questo blocco, mettendo un corto a massa per la RF.



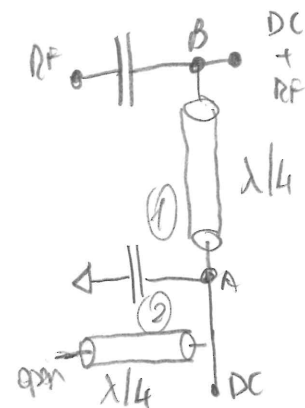
Questa soluzione va bene, soprattutto per circuiti monolitici.

Per circuiti ibridi, si può usare una soluzione a parametri distribuiti: le linee han vedere open e short come si vuole RF. (2 è chiuso su open, dunque escludo $\lambda/4$ mosso ad A un corto; ① mosso e B un aperto per la RF). Una

realizzazione pratica può essere:

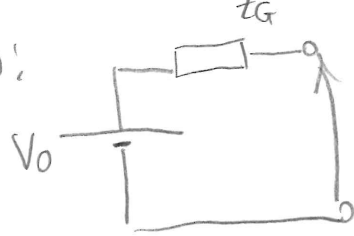
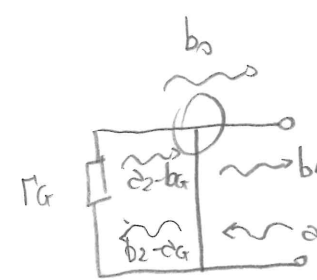


il filo si dimensiona per avere una certa L (induttanza).



Tema di esame 3

1) Dato:

Come
ottenereSi ricorda le definizioni dei parametri \underline{S} :

$$a_K = \frac{V_K + 2p_K I_K}{2\sqrt{2}R_K} ; \quad b_K = \frac{V_K - 2p_K I_K}{2\sqrt{2}R_K} \xrightarrow{\text{invert}} I_K = \frac{a_K - b_K}{\sqrt{2}R_K} ; \quad V_K = (a_K + b_K)\sqrt{2R_K}$$

 $\rightarrow V = V_0 - Z_G I_K \rightarrow$ sostituendo le relazioni "invertito":

$$\hookrightarrow (a+b)\sqrt{R_0} = V_0 - Z_G \frac{a-b}{\sqrt{R_0}} \Rightarrow b \left[\sqrt{R_0} - \frac{Z_G}{\sqrt{R_0}} \right] = -a \left[\frac{Z_G}{\sqrt{R_0}} + \sqrt{R_0} \right] + V_0$$

$$\hookrightarrow b = -a \frac{\frac{Z_G}{\sqrt{R_0}} + \sqrt{R_0}}{\sqrt{R_0} - \frac{Z_G}{\sqrt{R_0}}} + V_0 \cdot \frac{1}{\frac{Z_G}{\sqrt{R_0}} - \frac{Z_G}{\sqrt{R_0}}} \rightarrow b = \underbrace{\frac{Z_G + R_0}{Z_G - R_0}}_P a + V_0 \underbrace{\frac{\sqrt{R_0}}{R_0 - Z_G}}_{b_0}$$

Ora, per il circuito si ha:

$$\begin{cases} b_1 = a_2 - b_G + b_0 \\ a_1 = b_2 - d_G \end{cases} \quad \boxed{b_G = \Gamma_G a_2} \quad \begin{aligned} b_1 &= a_2 - \Gamma_G a_2 + b_0 \\ b_1 &= a_2 - \Gamma_G b_2 + \Gamma_G a_2 + b_0 \end{aligned}$$

Se poi $\Gamma_G = \phi$ ($Z_G = R_0$): $b_1 = a_2 + b_0$ (corrente con il disegno)

La misura dei parametri scattering si può così effettuare: dato sì;

$$S_{ij} = \frac{b_i}{a_j} \Big|_{a_K = p_i, K=j}$$

Se $i = j$, si ha dalla formula precedente $S_{ii} = \frac{b_i}{a_i}$

Si chiude sull'impedenza di riferimento la porta, e si avrà:

$$a_K = \phi ; \quad b_K = \frac{V_K}{\sqrt{R_0}} ; \quad a_j \text{ è uguale a un ipotetico}$$

b_{0j} di un gen. a onde impressa:

$$S_{ii} = \frac{b_i}{a_i} = \frac{V_K + 2p_K I_K}{V_K - 2p_K I_K} = \boxed{\frac{Z_G - R_0}{Z_G + R_0}}$$



$$\hookrightarrow \frac{b_K}{a_j} = \frac{2V_i}{V_j} \sqrt{\frac{R_0}{R_{0j}}}$$

$$b_{0j} = V_0 \frac{1}{2\sqrt{R_0}}$$

Ciò vale anche per gli elementi fuori dalla diagonale, con la differenza che
se la porta additiva è dall'altra parte: per far i calcoli si deve prestare
più attenzione.

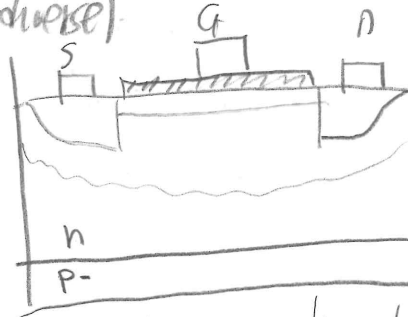
Come impattava ovviamente scegliere quella della normalizzazione delle porte
in questione, in modo da usare questo formula e facilitar i conti.

2) Sostanzialmente il problema di allargare la banda ad anello aperto,
(evitando soluzioni distribuite o razionali), si riporta al problema di
"adattare" in una certa maniera. Essendo la banda dell'amplificatore in
questione larga, si dovrà per forza adattare un disadattamento; il MAG infatti
non è costante in frequenza, dunque, volendo sempre lo stesso
guadagno, è necessario disadattare, "equalizzare".

MAG
Questo fatto comporta delle problematiche: disadattare significa
introdurre delle riflessioni nel sistema, e ciò è molto negativo: queste
riflessioni potrebbero generare instabilità, o danneggiare il generatore all'ingresso.
Bisogna dunque trovare soluzioni per realizzare questo adattamento: una è
quella di introdurre elementi resistivi nell'equalizzazione, in modo da dissipare
le riflessioni; un altro appross è basato sull'ignorare queste riflessioni, & non far
danni; un terzo appross è basato sull'idea di amplificazione distribuita (petane!!)

3) A microonde siamo interessati a guadagni elevati (a basse freq.), e velocità
di saturazione elevate, e campi elettrici massimi elevati (in modo da
poter avere della potenza su questi dispositivi).
Se si non si può sempre usare: più si va su di potenza o di frequenza,
meno è utilizzabile (e, senza esso, manca le tecnologie complementari come CADS, vedere
per esempio o vecchi per le mobilità p e n molto diversi).

Tra i FET, il più noto è il MESFET:
giunzione Schottky che controlla la regge
di smobilità: quando si conduce,
la regge di mobilità è piena di portatori.
C'è uno strato debolmente doppio per evitare che
l'alternativa allontanare G e D per migliorare la
dispositivo), fare scorrere per ridurre R.



i portatori si disporro.
Vorachawn (della gara) e del

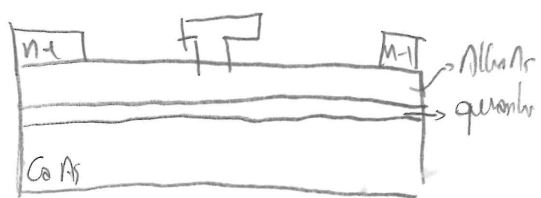
Problema MESFET: molta cricca → molto droggaggio → mobilità ridotta

↪ HEMT: FET e modulazione di droggaggio

Eletrostruttura e mod. di droggaggio: AlGaAs-GaAr

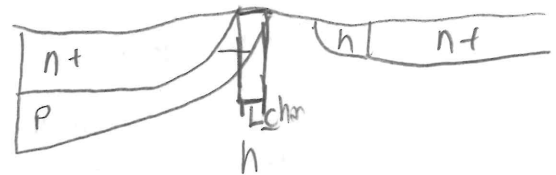
Cd:

- disaccoppia V_{th} e spessore canale drogato;
- permette di aver portazioni veloci e in abbondanza (no impurity);
- si può mettere un p+ in diretta la barriera.



PHEMT: eletrostruttura pseudomorfica InP-InAlAs-InP (stress sul reticolo).

LD MOS: tecnologia al Si ma diversa da CMOS; lunghezze d'onda molto ridotte, i tensioni di breakdown comunque elevab. Come? Si abbatta il campo elettrico mediante queste transizioni "graduali" da p+ a n+. Cd aumenta la resistenza passante.



HBT: si fa un bipolare a eletrostr.; ciò permette di svincolare i profili di droggaggio, riducendo la resistenza R_{bb} . Cd:

- Migliora la gm
- n il breakdown (meno dell'10%).

↪ Si usa il SiGe; la base è in una lega SiGe. Non si riesce a fare eletro brusca perché il passo relativo è di vers. Dop-Mischer.

Ossillatori: GaN; otte plazza alle frequenze desiderate.

Torna di esame aprile 10 (12:00)

1) Data un generico N-ottica si definiscono i parametri \leq come

$$S_{ij} = \frac{b_i}{\lambda_j} |_{\lambda k = \lambda_j, k \neq j}$$

Nel caso di $i=j$, il calcolo si riporta al solo calcolo del coefficiente di riflessione alla porta i-esima; questi sono gli elementi sulla diagonale.

Per gli elementi fuori dalla diagonale, ricordate che:

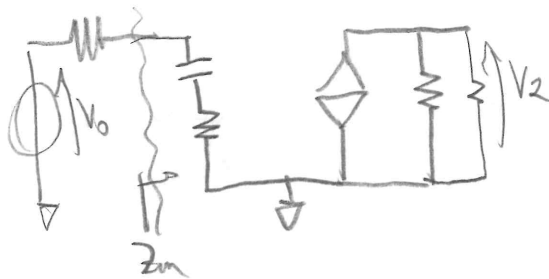
$$V_{lk} = (b_{lk} + b_{kl}) \sqrt{R_{lk}} ; I_{lk} = \frac{(b_{lk} - b_{kl})}{\sqrt{R_{lk}}} ; \text{ quanto misura i parametri collegati}$$

Se la 2-parte un generatore di tensione nota, V_0 , avrà:

$$\overline{b}_{lk} = \frac{V_0}{2\sqrt{R_{lk}}} ; \rightarrow \frac{\overline{b}_2}{\overline{b}_0} = 2 \frac{V_2}{V_0} \sqrt{\frac{R_{lk}}{R_{0l}}} \rightarrow \text{i esame porta!}$$

Dunque queste sono le "formule" che si può usare.

Si consideri ora questo schizzo:



$$S_{11} = \frac{Z_{in} - R_o}{Z_m + R_o} \Rightarrow Z_m = R_o + \frac{L}{j\omega C_{GS}} \mid$$

$$= \frac{L + j\omega C_{GS} R_o}{j\omega C_{GS}}$$

$$S_{11} = \frac{\frac{L + j\omega C_{GS} R_o}{j\omega C_{GS}} - R_o}{\frac{1 + j\omega C_{GS} R_o}{j\omega C_{GS}} + R_o} = \frac{L + j\omega C_{GS} R_o - j\omega C_{GS} R_o}{1 + j\omega C_{GS} R_o + j\omega C_{GS}} =$$

$$= \frac{L + j\omega C_{GS}(R_o - R_o)}{1 + j\omega C_{GS}(R_o + R_o)}$$

$$S_{11} = 2 \frac{V_2}{V_0} ; V^* = V_0 \cdot \frac{\frac{1}{j\omega C_{GS}}}{\frac{L}{j\omega C_{GS}} + R_o} = \frac{1}{L + j\omega C_{GS}(R_o + R_o)} V_0 \mid$$

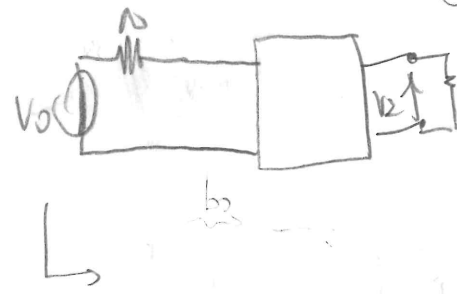
$$V_2 = -g_m V^* R_{o2} \oplus R_o \mid \quad \boxed{\frac{V_2}{V_0} = \frac{-g_m R_{o2} \oplus R_o}{L + j\omega C_{GS}(R_o + R_o)}} \rightarrow S_{11} = 2 \frac{V_2}{V_0}$$

Ora: se tutto è cancellato così, il quadriport del FET sarà:

$$S_{21}(0) = -2 g_m R_{o2} \oplus R_o \mid \quad \frac{V_2}{V_0} = L \rightarrow \frac{-g_m R_{o2} \oplus R_o}{1 + j\omega C_{GS}(R_o + L)} = L$$

$$\rightarrow \frac{-g_m R_{o2} \oplus R_o - L}{j C_{GS}(R_o + L)} = \omega \rightarrow \text{Se: } g_m R_{o2} \oplus R_o \gg L, L \gg R_o \gg R_I$$

$$\rightarrow f_c = \frac{-g_m R_o}{j C_{GS} R_o} = \frac{g_m}{C_{GS}}$$



2) Le reti di adattamento posson esser usate/interpretate in maniera molteplice; volendole vedere nel dominio della frequenza, esse sono in sostanza dei filtri, poiché mostrano una impedenza variabile con f . "Impedenza" è una parola magica; di fatto il principale uso delle reti di adattamento è quello di fare una trasformazione di impedenza: rispetto ai carichi "noti" sulla strumentazione (sarà), l'amplificazione per lavorare in una certa memoria, dove vedere nel dominio delle riflessioni, un certo T_A e un certo T_L (è seconda di cosa vogliamo fare essi saran diversi). Lo scopo dell'adattatore è quello di fornire questa "visione" agli amplificatori.

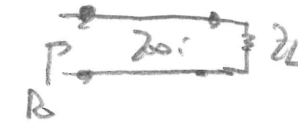
Di solito si parla di reti di "adattamento" se esse portano dal d'avorio al ingresso del FET, $H=0$; i più in generale, come nel caso degli amplificatori a banda larga, si parla di "equalizzatori"; per quanto il concetto sia comunque quello di mostrare al 2-ponte una certa impedenza.

Le reti posson esser con o senza perdite; e l'intenzione è quella di usare in modo buono le perdite, per esempio per cancellare delle riflessioni, si posson introdurre elementi "lossy" di proposito.

Come sempre per quanto riguarda la tecnologia, si posson distinguere 2 casi: ibridi o monofilici; nel caso monofilico è preferibile passare a modelli e componenti discreti, in modo da ridurre l'errore che si vuole uscire. Nel più comune caso per circuiti ibridi, l'adattatore non può far in pessimo: prima si progetta, con uno dei metodi di campi, questo adattatore - probabile i suoi modelli "semplici" come quelli implementati in PWB, dunque n'è facile la realizzazione in L e C .

gli adattatori posson esser progettati in diversi modi:

- λ/L : si usa $Z_{0A} \cdot \sqrt{R_0 Z_L}$, e si fa un tratto di lunghezza $\lambda/4$ con questi valori



- A "T": con lo stub scelto $\lambda/4$, con le lunghezze in questo.

- Altre sd. I multi λ/L o .

3) Lo alpha di raniero è un paratutto che permette di quantificare le prestazioni di un sistema in termini di rumore. Esso si può in sostanza definire così:

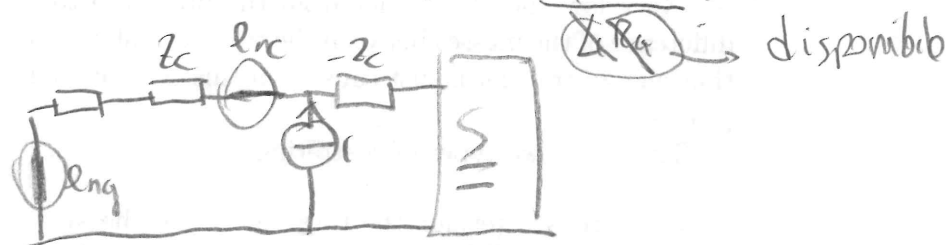
$$F_N = \frac{S_{nLdisp}^n}{S_{nLdisp}^{11}}$$



dove "S" indica una densità spettrale di potenza, "n" di rumore, "L" sul canale disponibile (altre espressioni diverse sarebbe più complicato); l'epoca "11" indica il fatto che lo S NON TIENE CONTO del rumore generato internamente al blocco; "11" indica il rumore esclusivamente generato internamente, e senza apice la somma delle 2: $S_{nLdisp} = S_{nLdisp}^1 + S_{nLdisp}^{11}$ (essendo i due scorritelli per ipotesi)

$$\hookrightarrow F_N = L \cdot \frac{S_{nLdisp}^n}{S_{nLdisp}^{11}} \rightarrow \sum L$$

$$\text{Usando il quadro disponibile, } \Rightarrow F_N = L \cdot \frac{S_{nGdisp}^{11}}{S_{nGdisp}^1} = L \cdot \frac{S_{nAdisp}^n}{k_B T_R}$$



[volendo, dimostrare
modello ...]

Come si evince dalle dimostrazioni fatte in cula, F_N dipende da molto cose: dal due-ponte senza dubbia, ma anche dal generatore, o meglio dal suo T_R ; variando T_R , si può variare F_N . Si può verificare che le curve, sulla cdS di T_R , è rumore costante, sono cerchi.

Si può dimostrare che dunque esiste una NF minima, e questa avrà un certo "quadro ottimale": il valore del quadro per cui si ha NFmin. Questo, spesso, è irrisorio, e ciò non a piacere perché gli ampli a basso rumore sono dei preistorici. Dunque ci parerebbe se avessimo un quadro decente.

Analisi 2-porte

Intenzione: analizzare un sistema del tipo:

Si procede per passi.

1°: Considerare un schema del tipo:

Possiamo scrivere le eq. per il circuito:

$$\begin{cases} b_L = a_G i \\ a_L = b_G + b_0 \end{cases} \quad \begin{cases} b_L = \Gamma_L a_G i \\ b_G = \Gamma_G a_G \end{cases}$$

$$\rightarrow a_L(\lambda - \Gamma_G \Gamma_L) = b_0 \rightarrow \begin{cases} a_G = \frac{b_0}{\lambda - \Gamma_G \Gamma_L} \\ b_L = \frac{\Gamma_L b_0}{\lambda - \Gamma_G \Gamma_L} \end{cases}$$

$$P_L = |a_L|^2 - |b_L|^2 = \frac{|b_0|^2}{|\lambda - \Gamma_G \Gamma_L|^2} \left[1 - |\Gamma_L|^2 \right]$$

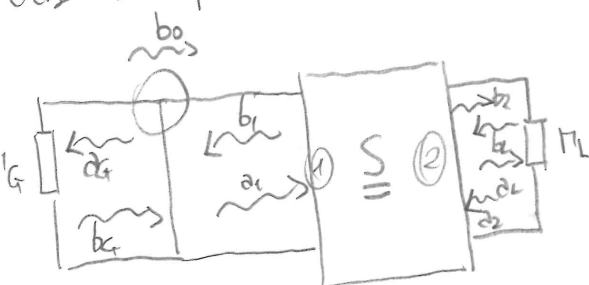
$$\hookrightarrow P_{L\text{ disp}} = \frac{|b_0|^2}{1 - |\Gamma_G|^2} \rightarrow \text{si può riscrivere: } P_L \text{ come:}$$

$$\begin{aligned} & \text{Siamo interessati a cosa capita sul carico: } a_L \text{ e } b_L. \\ & \text{Troviamoli: } \\ & a_L = b_G + b_0 = \Gamma_G a_G + b_0 = \Gamma_G b_L + b_0 = \Gamma_G \Gamma_L a_G + b_0 \\ & \Rightarrow \text{A partire da ciò, si può calcolare la potenza su } \Gamma_L: \end{aligned}$$

$$P_L = P_{L\text{ disp}} \frac{(1 - |\Gamma_L|^2)(1 - |\Gamma_G|^2)}{|\lambda - \Gamma_G \Gamma_L|^2}$$

Questo caso di studio è utile in vista di ciò che stiamo per fare: ora abbiamo delle formule per un caso semplice, basta che possano essere riutilizzate.

Caso 2-porte caricato

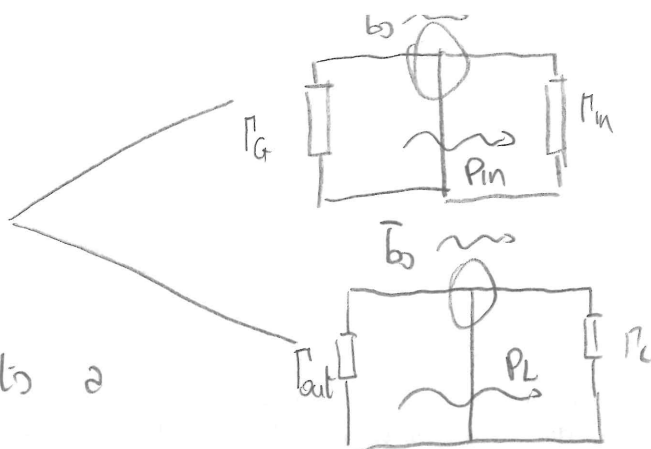
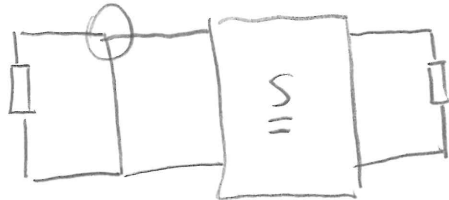


$$\begin{cases} b_2 = a_L i \\ a_2 = b_L i \\ a_L = b_0 + b_G i \\ b_L = a_G i \end{cases}$$

$$\begin{cases} a_L = \Gamma_G a_G \\ b_G = \Gamma_G a_G \\ b_0 = S_{11} a_1 + S_{12} a_2 \\ b_2 = S_{21} a_1 + S_{22} a_2 \\ b_L = \Gamma_L a_L \\ a_2 = b_2 \end{cases}$$

$$\rightarrow \begin{bmatrix} 1 - \Gamma_G & 0 & 0 \\ S_{11} - 1 & S_{12} & 0 \\ S_{21} & 0 & S_{22} - 1 \\ 0 & 0 & 1 - \Gamma_L \end{bmatrix} \begin{bmatrix} a_1 \\ b_1 \\ a_2 \\ b_2 \end{bmatrix} = \begin{bmatrix} b_0 \\ 0 \\ 0 \\ 0 \end{bmatrix} \rightarrow \{$$

II



Si può ricordare questo circuito a due sottocircuuti.

$$\Gamma_m = \frac{b_1}{a_1} = S_{11} + \frac{S_{12} S_{21} \Gamma_L}{1 - S_{22} \Gamma_L} \quad | \quad \Gamma_{out} = \frac{b_2}{a_2} = S_{22} - \frac{S_{12} S_{21} \Gamma_G}{1 - S_{11} \Gamma_G}$$

dalle formule di a_1, b_1, a_2, b_2 ! Faccendo i rapporti.

Si può veder che:

$$P_{in} = |a_1|^2 - |b_1|^2 = \dots$$

O, usando il "circuito equivalente": $P_{in} = b_0 \frac{1 - |\Gamma_{in}|^2}{|1 - \Gamma_m \Gamma_G|^2}$

Elettronica delle microonde - ripasso

1

Parte introduttiva

RF: da 100 MHz a ≈ 1 GHz; MW: da 1 a 30 GHz; mm: fra 30 e 100 GHz
RF: "Coperto" da tecnologie a Si; oltre 43 GHz, si devono usare altre tecnologie (non Si)

Il Si si usa a bassa potenza.
Per potenze e frequenze più alte, GaAs (da anni '70) è guide d'onda.

A seconda della potenza & frequenza, si usano substrati diversi.

P. concentrati $\rightarrow L < \frac{f}{8}$ (e meno che $f > 20$ GHz).

2 circuiti ibrido \rightarrow si fa il FET su GaAs o simili e si mette in un circuito (sol. tipica)

< monolitico \rightarrow si fa tutto monolitico, integrato.

Substrati: dove anche soddisfare spec. termiche, oltre che elettriche (ϵ_r , d)

Linee di Tx: < microstrip coplanare



Microstrip: per collegare al GND, si deve far un via hole (forare il bulk) \rightarrow quando ciò non si può fare, \rightarrow coplanare (layout + incastri).

Ibrido vs

monolitico:

- piste realizzate con f precisione;
- dimensioni inferiori
- facilmente ripetibili

(Advantages)

- bulk meno

costoso;

- più facili de "ritoccare" in caso di errori.

- piste realizzate

con f precisione;

- dimensioni inferiori

- facilmente

"ripetibili"

Illo problema: ALIMENTAZIONE (lo vedremo): bias - T.

↳ Per il costo i circuiti ibridi sono più diffusi!

Si usano anche elementi discreti.

Dispositivi attivi a microonde

Quando si può, si usa Si (costo \leftarrow tecnol. sviluppissima!) è alternativa, semicond. di SINTesi:

- GaAs (monolito)

- CdTe (telluro dicadmio); Eg molto piccolo, \Rightarrow opp. a infrarossi!

- InP (oltre 40 GHz 8 optseln);

forse per la potenza!

- SiC: Eg elevatissimo, \rightarrow resiste a T elevatissime!!

- GaN: molto promettente, super Eg; potenze.

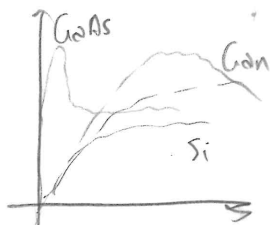
Anche Eg \rightarrow elevato breakdown (fontanellato x potenze)

x alle frequenze ci serve flotta, o meglio una saturazione elevata.

Campo elettrico critico: max vetro di f per cui non si ha sat. della v.

Il GaN è fantastico: campo & vst elevato. Idem SiC.

Per aumentare v si deve avere metabulk (metabol), e gate corto (gate corto \rightarrow E maggiore) \rightarrow o maggior



Si: può dissipare poco ad alta f_i
GdAs: non esiste MOS (NO Ossido).

MesFET

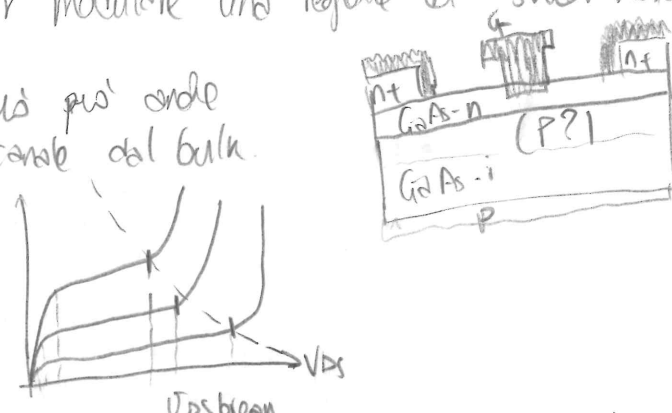
Si usa una barriera Metal-Semiconduttore per modulare una regione di svuotamento: questa è il canale.

GdAs-n si può far crescere epitassialmente. Si può poi onde impiantare in prof. uno strato P per "isolare" il canale dal bulk.
Lo spessore della zona n determina la V_{th}.

La transchar è:

Il breakdown è il br. della grana Schottky.

Recesso di gate:



Con questa idea si "recava" il canale, con questo scavo aumentando la sezione e riducendo la resistenza parassita: lo strato n

è "stretto" solo dove si deve controllare il canale, e altrove largo (riducendo R); V_{th} è controllata negli. Si allargano G e D per migliorare il breakdown.

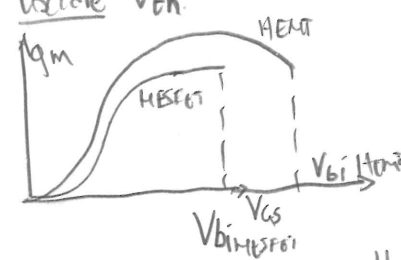
Per aumentare la corrente (dunque la potenza) si può aumentare lo λ , senza esagerare ($\lambda \ll \frac{L}{8}$!!) \Rightarrow si fanno i dispositivi INTERDIGITATI!

Problemi: molto carico, molto drosgaggio (e meno mobilità); difficoltà nel controllare V_{th} \Rightarrow eterostrutture

HET

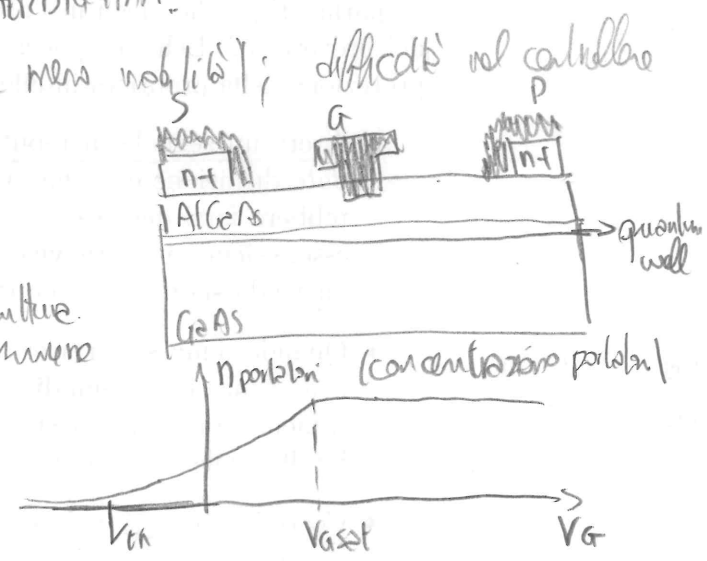
FET a modulazione di drosgaggio mediante eterostruttura. Si ha anche una barriera Schottky, che modula il numero dei portatori.

Si può lavorare sulla capacità di canale (dunque sulla q_m) agendo sullo spessore dell'AlGaAs senza toccare V_{th}.



HET ha una V_{saturazione} maggiore a MESFET, ma i campi di breakdown sono minori.

PHEMT: doppia eterostruttura:

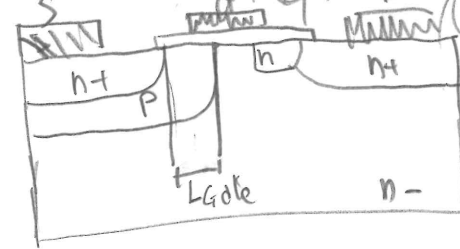


InAlAs ha strati sottili, e se tali sono molto sottili i reifici si additano, il material si stacca, e la sua μ aumenta.

FCNOS - LDMOS

Si han anche tecnologie al Silicio oltre a quelle "osotiche" appena viste; vantaggio del Si: $\mu_n \approx 3 \text{ m}^2/\text{V.s}$ dunque c'è dispersione ma non troppo come nel GdAs: si può usare CMOS.

Le lunghezze di gate devono essere molto ridotte, al fine di andare su di frequenza.
L'LDNOS realizza questa idea.
Il canale può essere corto, poiché la struttura permette di "spalmare" il campo elettrico: le regioni n+ e n- hanno grosse regioni di svolgimento, che spalmano questo campo e evitano il break down. L'impiantazione laterale "p" è il canale.



BJT/HBT
I BJT hanno una f_T bassa: non giudicate (colpa della r_{bb}), causata dal fatto che si ha i vincoli di droggaggio).

↳ Si fanno doppie eterostrutture! In questo modo tra B e E si ha un salto di banda PERMANENTE e "indipendente dal droggaggio", e r_{bb} minima! (droga di e la base!).

La base si fa crescere epitassialmente (NO impiantazione).
migliorano gm e la f_T (ho visto più ricca).

↳ migliora il breakdown (ma non si ottengono i risultati dell'HBT).

↳ HEMT meglio per potenza, HBT per rumore.
Si possono fare HBT Si-based: tecnologia Si-Ge (loghe). No stria brusche, perché il passo reticolare è molto diverso, dunque si fanno "passi graduali" di crescita. Deep-tranch: scavi profondi nei quali si piazza del SiO_2 , per separare un dispositivo da quello adiacente. Solo su tecni. Si-based, perché nelle altre non si ha ossido.

Obiettivi:

- Migliorare prestazioni (gm, breakdown ...)
- Migliorare dissipazione; → ampio gap (GaN): buone dissipa. e elevato breakdown.
- ↳ se dissipano bene, posso avvicinare i dispositivi e ridurre l'area di integrazione.
- Il GaN è frag.
- dar uno sguardo ad appunti e disegni

Imponenti passivi concentrati:
centrati, si usano a freq. relativamente basse (qualche GHz), e specialmente nei circuiti non pollici (dimensioni ridotte); o film, o particelle.

Resistori: tolleranze sul valore di R , e sulla stabilità termica.

Problemi: tolleranze sul valore di R , e sulla stabilità termica.
deponendo film sottile resistivo sul dielettrico
3 modi: deponendo film semiconduttore (MESAL) o
drogando il substrato semi-isolante



si fa qualcosa qui?

Tolleranza 20%;

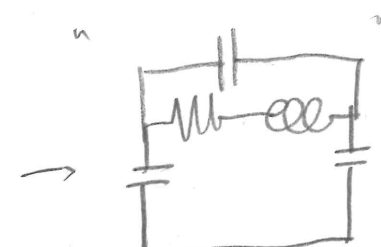
Per valori di R elevati, si devono usare i passaggi. Ne esistono 3 tipi:

- resistori
passaggi!
quartz wrap
- wrap around
- flip-chip
- flip-chip on mass



Induttore:

Ideas per avvolgimenti e contenere linea di campo.
Problema: danni parassiti: resistivi, per effetto Joule; capacitivi,
sia tra loro sia verso massa. Nel modello π , la L avrà sempre
una R serie. Essendo le piste in plasticina, può a mass.



Air bridge: dielettrico sulla pista sotto dunque si mette una 2^a pista.

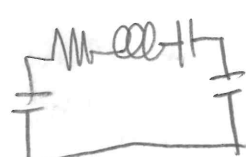
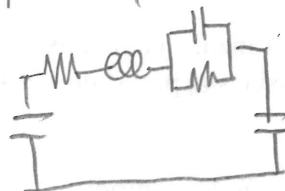
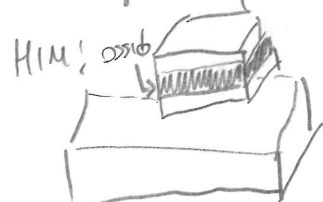
$\begin{matrix} \text{pista up} \\ \text{pista down} \end{matrix}$ e quindi si fa etching.
Tutto ciò occupa un'area enorme, ben + degli effetti!
Se si fa su su, peggio ancora perché ci han perdite (essendo un cattivo
isolante) → ciò abbassa i Q degli induttori.

Ora esistono tecniche per struttura 3d, con il micro-nano machining. (NON planare!)

Generalmente, valori di L elevati non stanno (e non nei bias-T)

Sandwich

- Interdigitali ; - μ stripline ; - MIM ; - Schottky .



Si usano soprattutto MMIC

→ sono sostanzialmente dei risonatori!

Componenti passivi distribuiti

Sono strutture in cui si propagano modi TE, TM o TEM.

Sono molto dispersive in frequenza, e non propagano sotto la fc: (TE/TM)

Le guide TEM hanno $f_c = \frac{c}{\sqrt{\epsilon_r}}$, sono doppialmente dispersive, e solo per calce delle perdite serie/parallelo.

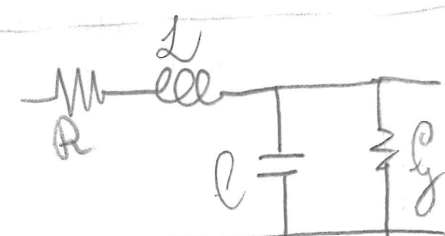
Esiste un altro tipo di guida, quelle che apre: linee quasi-TEM: han un dominio dupliceamente connesso, ma con dielettrico non omogeneo sulle superficie trasversale: → ha un esponente trasverso a $\frac{1}{2}$. → Il campo si chiude in maniera disomogenea.

Si può scrivere, in prima approssimazione:

$$V_F = \frac{E_F}{\sqrt{\epsilon_r}} \quad | \quad V_P = \frac{E_P}{\sqrt{\epsilon_{eff}(f)}}$$

(TEM) (quasi-TEM)

Linee con perdite:
si ha un modello
di questo tipo:



$$\gamma = jk = \sqrt{(j\omega L + R)(j\omega C + G)} \quad | \quad Z_0 = \sqrt{\frac{j\omega L + R}{j\omega C + G}}$$

Sviluppo γ :

$$\gamma = \sqrt{[j\omega L + R]/[\omega C]} = -\omega \sqrt{L/C} \left[\frac{(1+R/j\omega L)}{(1+\omega^2 LC)} \right]^{1/2} = \sqrt{\omega L} \sqrt{j\omega L} \sqrt{1 + \frac{R}{j\omega L}} \sqrt{1 + \frac{C}{\omega^2 C}} \quad (5)$$

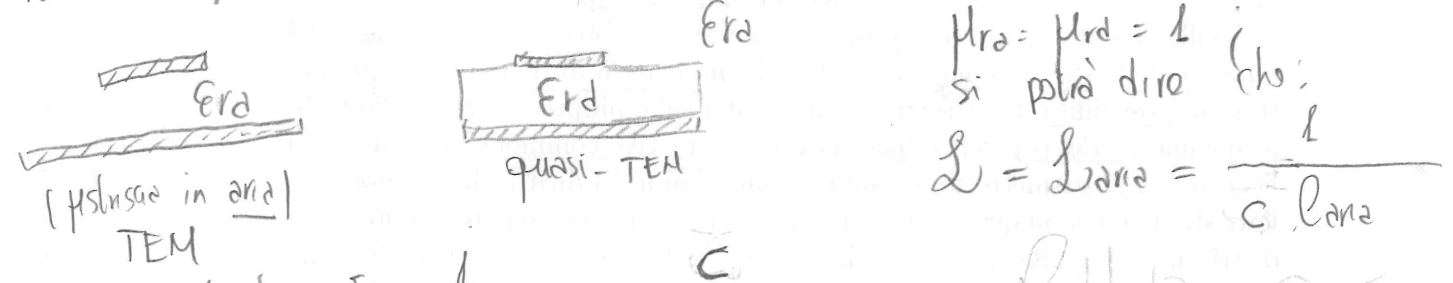
$$\approx (\text{Taylor I}^{\circ}\text{ ordine}) \sqrt{-\omega^2 LC} \left(1 + \frac{R}{2j\omega L} \right) \left(1 + \frac{C}{2\omega^2 C} \right)^{1/2} \approx \sqrt{-\omega^2 LC} \left(1 + \frac{R}{2j\omega L} + \frac{C}{2\omega^2 C} \right) =$$

$$= j\omega \sqrt{L/C} + \frac{R}{2} \frac{\sqrt{L/C}}{\omega} \frac{j\omega}{\omega} + \frac{C}{2} \frac{\sqrt{L/C}}{\omega^2} = j\omega \sqrt{L/C} + \frac{R}{2Z_0} + \frac{C}{2} Z_0 \Rightarrow j\beta + d$$

Per Z_0 : $Z_0 \rightarrow \sqrt{\frac{j\omega L + R}{j\omega C + g}}$ → per $\omega \rightarrow \infty$, $Z_{0\text{loss}} \rightarrow Z_{0\text{ideal}}$
 (regime di alta frequenza; quello in cui effettivamente noi lavoriamo!!)

Esiste un regime "intermedio", in cui la trascia γ non è più R , e diventa molto dispersivo.

Linee quasi-TEM.
 Ciò che cambia da una linea TEM a una quasi-TEM è il valore delle grandezze che le caratterizzano, delle "costanti primarie": L e C . Questo, perché il diottero non è ormai.



(dal momento che $\sqrt{f} = \frac{l}{\sqrt{L C}}$ = $\frac{c}{\sqrt{E_d \epsilon}}$)

da qui: $C \approx 3 \times 10^{-8}$ m/s;

$$L = E_{\text{eff}} \cdot l_{\text{aria}}$$

$$\hookrightarrow Z_0 = \sqrt{\frac{L}{C}} = \frac{l}{c \sqrt{L l_{\text{aria}}}} ; \quad V_F = \sqrt{\frac{1}{L C}} = c \sqrt{\frac{l_{\text{aria}}}{l \epsilon}} \quad ($$

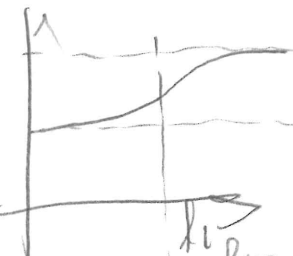
$$\hookrightarrow Z_0 = \frac{2 \pi f_{\text{aria}}}{V_F} ; \quad V_F = \frac{c}{\sqrt{E_{\text{eff}}}}$$

Note:
 - più la pista è larga, più L aumenta, e Z_0 cala; } i migliori materiali sono Au e Cu.

- più E_d aumenta, più C aumenta, e Z_0 cala.

Fino alla freq. del I° modo superiore libero la guida è debolmente dispersiva. A t.c. al contrario si innesta il modo (che uccide V_F) e la dispersione.

$$E_{\text{eff}}(t) = [E_{\text{eff}}(0) + \frac{E_{\text{eff}}^2(t) - E_{\text{eff}}^2(0)}{1 + \frac{t - t_{\text{inflex}}}{T} B}]^{\frac{1}{2}}$$



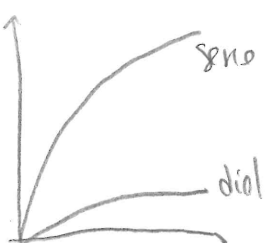
→ Frequenza di inflessione

⑥

Effetto pelle: si ha qualcosa del tipo: la resistenza aumenta come \sqrt{f}

(visto che si ricava così dalla Maxwell) e, visto che si riduce la corrente concatenata, $L \rightarrow \emptyset$. (queste sono perdite serie);

a causa del dielettrico non ideale, si ha anche delle perdite parallelo; $\tan(\delta)$;



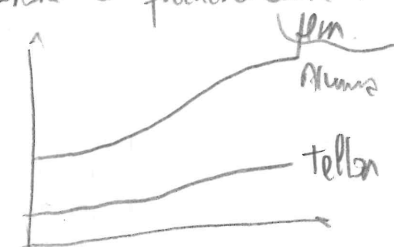
si ha tuttavia che le perdite serie sono molto più importanti di quelle parallelo.

Teflon e Alumina han basse perdite; Si, più elevate (ma è più maneggevole).

Note su misurare

- In generale, $WL \leq h$ (per evitare riflessioni trasversali), ma superare a qualche decim.
- Z_0 c'è all'aumentare di Q , dunque di ϵ_r di W/h ;
- $\sqrt{\epsilon_{eff}}$ aumenta un poco all'aumentare di W/h ;
- Δ_c diminuisce W , riduce R , dunque le perdite serie.

Alumina è dispersiva e poco manifatturabile



Parametri \underline{S} : noti/ richiami

si usa sia per linee, sia per dispositivi attivi e micronde, al fine di descrivere il comportamento lineare. Perché \underline{S} ? Beh, perché semplicemente chiudere le sezioni non è sufficiente per fare delle misure. Non si può fare! Colpa di riflessioni, in corto o in aperto per fare delle misure. Non si può fare! Colpa di riflessioni, accessibile del fatto che le condizioni di short o open son valide per frequenze limitate bande strette. Adattare è più facile.

Inoltre, come accennato, questi dispositivi han elevati guadagni a bassa frequenza, dunque si rischia di creare dei loop! ... e poi si possono collegare alle linee di Tx :-)

Definizione \underline{S} :

Definisco α_K e b_K come:

$$\alpha_K = \frac{V_K + Z_{0K} I_K}{2 \sqrt{R_{0K} \{Z_{0K}\}}} \quad ; \quad b_K = \frac{V_K - Z_{0K} I_K}{2 \sqrt{R_{0K} \{Z_{0K}\}}}$$

$$\Rightarrow \text{in generale, } \Rightarrow \alpha_K = \frac{V_K + R_{0K} I_K}{2 \sqrt{R_{0K}}} ; \quad b_K = \frac{V_K - R_{0K} I_K}{2 \sqrt{R_{0K}}}$$

$Z_{0K} = R_{0K}$
(solo parte reale)

$$\therefore V_K = (\alpha_K + b_K) \sqrt{R_{0K}}$$

$$\text{invertendo } I_K = \frac{(\alpha_K - b_K)}{\sqrt{R_{0K}}}$$

Nella forma più generale:

$$P_K = |\alpha_K|^2 - |b_K|^2 ; \quad [\text{non dipende da } Z_{0K}!!!]$$

Ora, ricorda: Z_{0K} NON ha "per forza" significato fisico; essa b ha solo se in una linea di trasmissione modellata con questi parametri, $Z_{0K} = Z_{\infty}$. Infatti: $P_K = \frac{|V|^2}{Z_{0K}} - \frac{|V|^2}{Z_{\infty}}$

Parlare di \underline{Z} in un FET, o in un generico dispositivo a p. concentrati, NON ha senso!
Ciò che si fa è scegliere una \underline{Z}_0 e determinare i parametri $\underline{\underline{S}}$ rispetto a essa!

Conversione $\underline{\underline{Z}} \rightarrow \underline{\underline{S}}$

Sappiamo che:

$$\underline{V} = \underline{\underline{R}}_0^{1/2} (\underline{\underline{Z}} + \underline{\underline{b}}); \quad \underline{I} = \underline{\underline{R}}_0^{-1/2} (\underline{\underline{Z}} - \underline{\underline{b}}); \quad \underline{V} = \underline{\underline{Z}} \underline{I} \rightarrow \underline{\underline{R}}_0^{1/2} (\underline{\underline{Z}} + \underline{\underline{b}}) = \underline{\underline{Z}} \underline{\underline{R}}_0^{-1/2} (\underline{\underline{Z}} - \underline{\underline{b}})$$

$$\rightarrow \underline{\underline{Z}} + \underline{\underline{b}} = \underline{\underline{R}}_0^{-1/2} \underline{\underline{Z}} - \underline{\underline{R}}_0^{-1/2} \underline{\underline{Z}} \underline{\underline{R}}_0^{-1/2} \underline{\underline{b}} \rightarrow \underline{\underline{b}} (\underline{\underline{Z}} + \underline{\underline{R}}_0^{-1/2} \underline{\underline{Z}} \underline{\underline{R}}_0^{-1/2}) = \underline{\underline{Z}} (\underline{\underline{Z}} - \underline{\underline{b}})$$

$$\therefore \underline{\underline{b}} = (\underline{\underline{Z}} + \underline{\underline{Z}})^{-1} (\underline{\underline{Z}} - \underline{\underline{Z}}) \underline{\underline{Z}}$$

In pratica:

- 1) Si parte dalle equazioni di passaggio da parametri $\underline{\underline{S}}$ a parametri $\underline{\underline{Z}}$
- 2) Si scrive la relazione di partenza, quella che definisce la matrice di partenza ($\underline{V} = \underline{\underline{Z}} \underline{I}$)
- 3) Si sostituisce 1 in 2 e ordina. Se poi tutte le imp. di riferimento sono uguali, $\underline{\underline{R}}_0 = R_0 \underline{\underline{S}}$.

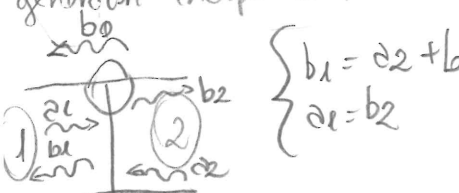
Potenza:

$$\text{Potiss} = \sum_k (|a_k|^2 - |b_k|^2) = \underline{\underline{Z}}^T \underline{\underline{Z}} - \underline{\underline{b}}^T \underline{\underline{b}} = \underline{\underline{Z}}^T \underline{\underline{Z}} - \underline{\underline{Z}}^T \underline{\underline{S}}^T \underline{\underline{S}}^* \underline{\underline{Z}}^* = \underline{\underline{Z}}^T (\underline{\underline{Z}} - \underline{\underline{S}}^T \underline{\underline{S}}^*) \underline{\underline{Z}}^*$$

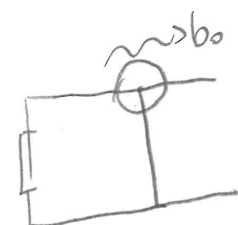
Nota: un generico blocco si può definire secondo le due "basì":

$$\begin{cases} \underline{\underline{Z}}: Z_{11} = Z_L \\ \underline{\underline{S}}: S_{11} = Y_L \end{cases} \rightarrow \begin{array}{l} \text{si passa da una "base di impedanza" a una} \\ \text{"base di riflessione" il cui collegamento} \\ \text{è funzione della } Z_0 \text{ scelta.} \end{array}$$

Generatori di onde impresse: sono le rappresentazioni nel mondo dei parametri $\underline{\underline{S}}$, dei generatori indipendenti:



$\left\{ \begin{array}{l} b_1 = a_{21} + b_0 \\ a_1 = b_2 \end{array} \right.$ → questa è l'eq. costitutiva del blocco circuitale "generatore di onde impresse".



Si può ricavare, mediante i passaggi (*), la relazione:

$$b_0 = \underline{\underline{R}}_0^{1/2} (\underline{\underline{Z}} + \underline{\underline{R}}_0)^{-1} V_0 \xrightarrow{\text{scalarizzata}} b_{0K} = \frac{V_0 \sqrt{R_{0K}}}{\underline{\underline{Z}} + R_{0K}} \rightarrow \text{se } \underline{\underline{Z}} = R_{0K} \quad (\text{scegliano } R_{0K} \text{ in questo modo})$$

$$\therefore b_{0K} = \frac{V_0}{2\sqrt{R_{0K}}}$$

RIVIDE DI SPA C'HA FINITO ES!

Misura parametri $\underline{\underline{S}}$

Per misurare i parametri $\underline{\underline{S}}$, si usa la seguente formula: $S_{ij} = \frac{b_i}{a_j} \Big|_{a_{ij}=0}, V_{kj} \neq 0$

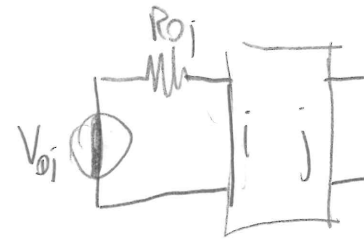
→ si adatta a ogni porta, tranne tra quelle in cui si misura il parametru. In realtà non è adattamento, è CHIUDERE CIASCUNA PORTA SULLE IMP DI NORMALIZZAZIONE RISPETTO ALLE QUALI SI CALCOLA $\underline{\underline{S}}$!!!

Si avrà:

$$\alpha_K = \phi, \quad b_K = \frac{V_K}{R_{DK}} \quad \left(\text{Si userà un voltmetro vittoriale} \right)$$

Per misurare il parmetro:

$$S_{ij} | i=j = \frac{b_i}{\alpha_j} \Rightarrow \text{usando l'equivalenza prima ricavata per cui si ha:}$$

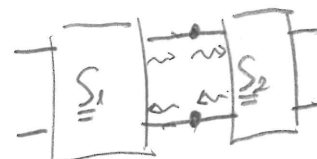


$$\underline{\underline{M}} = \underline{\underline{E}}$$

$$\rightarrow \boxed{S_{ij} = 2 \frac{V_i}{V_j} \sqrt{\frac{R_{Dj}}{R_{Di}}} \quad \left(\text{formula valida per misura E(A)colo} \right)}$$

Matrice $\underline{\underline{T}}$

Utile per collegare dei 2-porte in cascata.



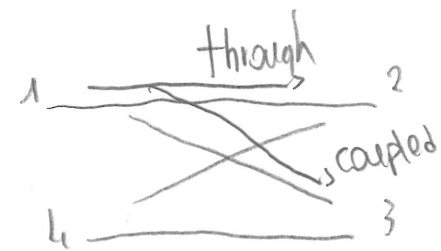
$$\left. \begin{aligned} \begin{pmatrix} a_1' \\ b_1' \end{pmatrix} &= \underline{\underline{T}}' \begin{pmatrix} b_2' \\ a_2' \end{pmatrix} \\ \begin{pmatrix} a_1'' \\ b_1'' \end{pmatrix} &= \underline{\underline{T}}'' \begin{pmatrix} b_2'' \\ a_2'' \end{pmatrix} \end{aligned} \right\} \Rightarrow \begin{pmatrix} a_1' \\ b_1' \end{pmatrix} = \underline{\underline{T}}' \underline{\underline{T}}'' \begin{pmatrix} b_2'' \\ a_2'' \end{pmatrix}$$

dove SI DIMOSTRA che:

$$\underline{\underline{T}} = \frac{1}{S_{21}} \begin{bmatrix} 1 & -S_{22} \\ S_{11} & -D_S \end{bmatrix} \quad \underline{\underline{S}} = \frac{1}{T_{11}} \begin{bmatrix} T_{21} & D_T \\ 1 & -T_{12} \end{bmatrix}$$



Componenti in linee accoppiate
Accoppiatore direzionale: dispositivo che divide la potenza incidente ad una porto fra due, e une quarta resta isolata.
Le divisione può essere per 2 o per un fattore diverso a seconda dell'applicazione. Si ha inoltre un prezzo rapporto di base.



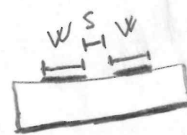
Può per esempio esser usato per generare un segnale differenziale
Idealmente, NO dissipazione; parametri: C, D, I, T, R (adattamento);
trasmissione

$$C = 10 \log_{10} \frac{P_C}{P_B}; \quad D = 10 \log_{10} \frac{P_D}{P_B}; \quad I = 10 \log_{10} \frac{P_I}{P_B}; \quad T = 10 \log_{10} \frac{P_T}{P_B}; \quad R = 20 \log_{10} (T_1).$$

Salvo: trasforma modo comune in modo differenziale \rightarrow problema: se il m come entra è 50 Ω, quello dff. è 100 Ω;

Linee accoppiate

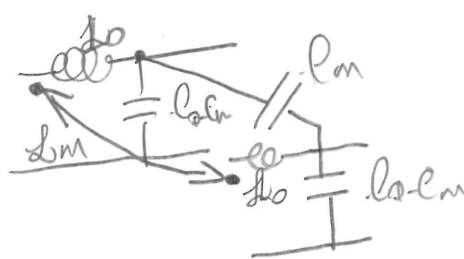
Si ha qualcosa di questo tipo:



Per aver accoppiamento,

SL 2W

La trattazione analitica è analoga a quella dei (lografisti) vettoriali:



$$\underline{C} = \begin{bmatrix} L_0 & -L_m \\ -L_m & L_0 \end{bmatrix} ; \underline{\underline{Z}} = \begin{bmatrix} Z_{00} & Z_{0m} \\ Z_{m0} & Z_{mm} \end{bmatrix}$$

$$\left\{ \begin{array}{l} -\frac{dV(z)}{dz} = +j\omega \underline{\underline{Z}} \underline{V} \\ -\frac{dI(z)}{dz} = j\omega \underline{\underline{Z}} \underline{V} \end{array} \right. \rightarrow \frac{d^2V(z)}{dz^2} = -\omega^2 \underline{\underline{Z}} \underline{\underline{Z}} \underline{V}$$

Le soluzioni di queste equazioni sono i soliti esp:

$$V(z) = V_0 \exp(-jkz) \quad k = \beta$$

Ciò che si può fare è sostituire questi "modi" nelle eq, per determinare β ; si avrà 2 soluzioni, dunque 2 possibili modi, caratterizzati da β e Z_0 .

Si può identificare un modo pari e un modo dispari:

- Nel modo pari, le tensioni sulle linee sono UGUALI, dunque tra i due conduttori, si ha $V = 0$; si ha un "muro di campo elettrico"



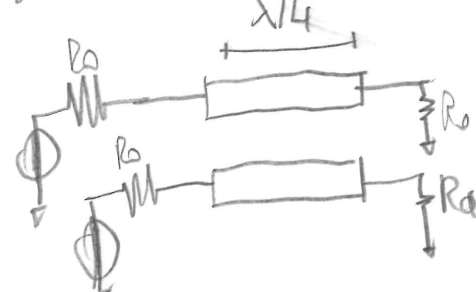
- Nel modo dispari, tensioni e correnti sono uguali e opposte



si ha un muro di J_h .

$$\left\{ \begin{array}{l} \beta_p = \frac{\omega}{c} \sqrt{\frac{L_p}{L_{p0}}} , \quad L_p = L_0 - L_m \\ \beta_d = \frac{\omega}{c} \sqrt{\frac{L_d}{L_{d0}}} , \quad L_d = L_0 + L_m \end{array} \right. \rightarrow \left\{ \begin{array}{l} Z_{0p} = \sqrt{\frac{L_p}{L_{p0}}} \\ Z_{0d} = \sqrt{\frac{L_d}{L_{d0}}} \end{array} \right.$$

Le due velocità di propagazione saranno diverse; se il muro fosse omogeneo, si propagherebbe un TEM, ma essendo esso una struttura $[Z_{0p} \neq Z_{0d}]$, i modi sono dissincroni. Nella coplanare sono quasi sincroni.



Accoppiatori a linee accoppiate:

Circuitalmente si ha qualcosa del tipo:

Si ricava, facendo un'analisi di modo pari e di modo dispari, qualcosa del tipo:

$$C = \frac{Z_{0p} - Z_{0d}}{Z_{0p} + Z_{0d}} \quad (R_0 = \sqrt{Z_{0p} Z_{0d}})$$

$$Z_{0p} = \sqrt{\frac{1+C}{1-C}} R_0 ; \quad Z_{0d} = \sqrt{\frac{1-C}{1+C}} R_0 ; \quad \left\{ \text{dati dallo specchio: valori di } R_0 \text{ e di } C, \text{ si invertono le eq. e si progettano le due } Z_0; \text{ problema: può capitare di aver da realizzare linee a distanze basse, e ciò è tecnologicamente inattuabile.} \right.$$

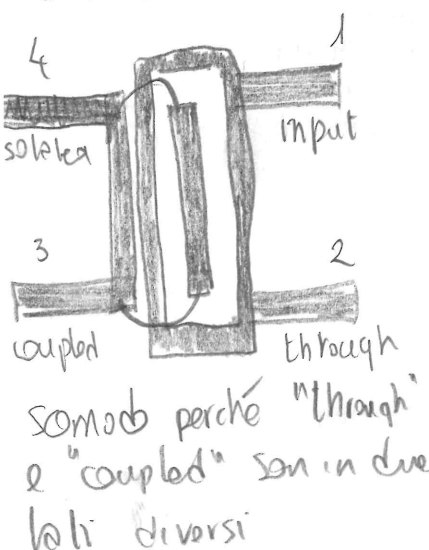
Si ha poi il problema del dissincronismo delle linee accoppiate: il dissincronismo può causare problemi di balloanti e disadattamenti: $S_{11} \approx \delta(1-c^2)$, $\delta = \frac{|V_{fp}-V_{ld}|}{V_{fp}+V_{ld}}$ (15)

Larga

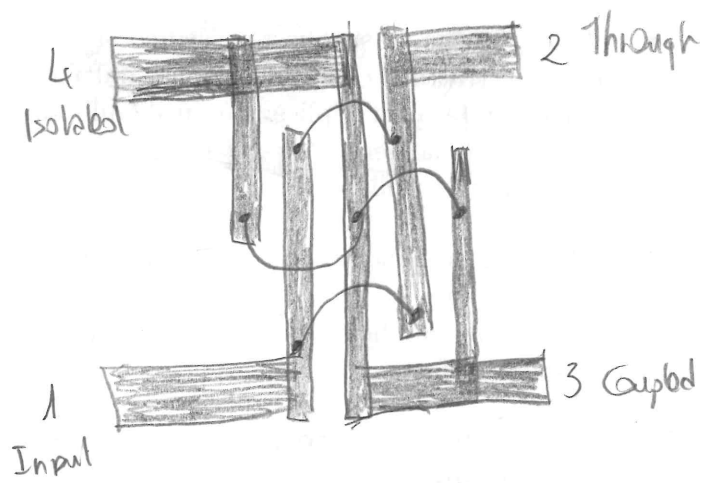
Per aver accoppiamento, si deve ricorrere ai "multiconduttori": più linee in parallelo!

2 versioni: folded e unfolded:

unfolded:



folded:



Se aumenta il numero dei conduttori, è più facile adattarli a 3 dB, e le linee non devono esser troppo vicine. Adattare a R_0 è regolare perché più ho linee, più ho perdite!

Dispositivi stretti, e a banda "larga" (≈ 1 octava)

Accoppiatori interferenziali

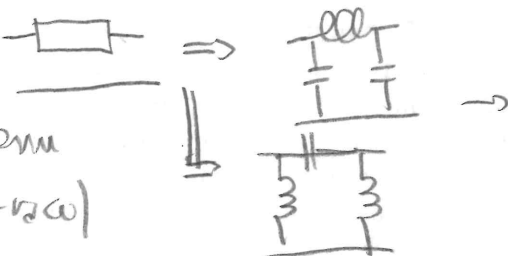
For $C=3\text{dB}$ è più facile, farne di bassi è + difficile.

Due tipi: branch-line $\rightarrow 90^\circ$
rat-race $\rightarrow 180^\circ$

Acc. a p. concentrati:

Si possono fare, a singola frequenza,
pure acc. a p. concentrati. Dato il modello

della linea di Tx:



Si prende uno degli schemi

(ibidem branch-line o rat-race)

e si implementano!

Si cerchi di evitare linee di
indulbi!

Note su Wilkinson: a volte si usa senza la "unplled", ma essa può esser determinante nel caso ci sian disadattamenti alle porte 2 e 3: $S_{23} \neq 0$, senza R :-C

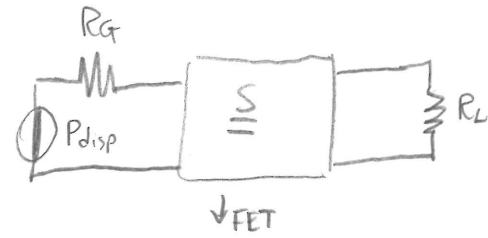
2-parte caricati: GUADAGNI

11

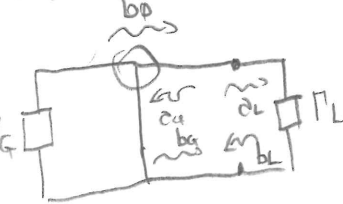
3 tipi di amplificatori:

- ad alto guadagno
- a basso rumore
- di potenza

Si parla, in questo ambito, di amplificazione DI POTENZA



1-parte carica



$$\left\{ \begin{array}{l} a_L = b_G \\ a_G = b_L \\ b_L = \Gamma_L a_L \\ a_L = b_0 + a_G \Gamma_G \end{array} \right.$$



$$b_G = b_0 + a_G \Gamma_G = b_0 + \Gamma_G \Pi_L a_L = d_L$$

$$\hookrightarrow a_L = \frac{b_0}{1 - \Gamma_G \Pi_L} ; b_L = \Pi_L a_L = \frac{\Pi_L b_0}{1 - \Gamma_G \Pi_L}$$

$$P_{disp} \Rightarrow \boxed{\Pi_L = \Gamma_G^*} \rightarrow |b_{0L}|^2 \frac{1 - |\Gamma_L|^2}{(1 - \Pi_L)^2} \boxed{\frac{|b_{0L}|^2}{1 - \Gamma_L^2}} \rightarrow P_L = |a_L|^2 - |b_L|^2 = |b_0|^2 \frac{1 - |\Gamma_L|^2}{1 - \Gamma_G \Pi_L}$$

condizione di adattamento energetico.

Se poi $\Pi_L = \Gamma_G = Q$, si ha anche

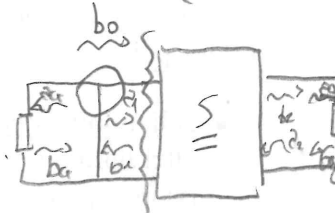
{ADATTAMENTO}
{DI CONFORMITÀ}

2-parte: al posto del carico si piazza il Σ :

rel. topologiche: rel. costitutive:

$$\left\{ \begin{array}{l} a_1 = b_G \\ b_1 = a_G \\ b_2 = a_L \\ \alpha = b_L \end{array} \right.$$

$$\left\{ \begin{array}{l} b_G = b_0 + \Gamma_G a_G \leftarrow \text{uhm, non proprio...} \\ b_1 = S_{11} a_1 + S_{12} a_2 \\ b_2 = S_{21} a_1 + S_{22} a_2 \\ b_\alpha = \Pi_L a_L \end{array} \right.$$

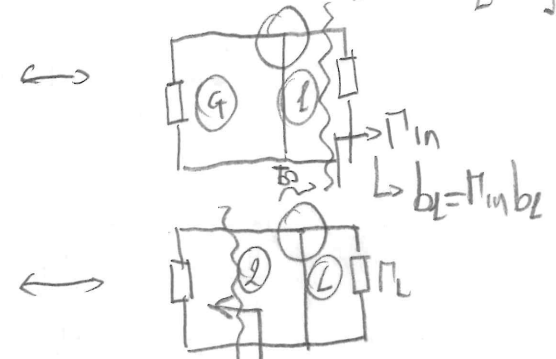


Risolvendo il sistema, si ottiene:

$$\Pi_{in} = S_{11} + \frac{S_{12} S_{21} \Pi_L}{1 - S_{22} \Pi_L} \rightarrow \text{ESSO dipende SOLO DAL } \Pi_L \text{ DUNQUE DAL CARICO, } \underline{\text{NON}} \text{ dal generatore;}$$

$$\begin{bmatrix} -1 & \Pi_G & 0 & 0 \\ S_{11} & -1 & S_{22} & Q \\ S_{21} & 0 & S_{22} & -1 \\ 0 & 0 & -1 & \Pi_L \end{bmatrix} \begin{bmatrix} a_1 \\ b_1 \\ a_2 \\ b_2 \end{bmatrix} = \begin{bmatrix} b_0 \\ 0 \\ 0 \\ 0 \end{bmatrix}$$

$$\Pi_{out} = S_{22} + \frac{S_{12} S_{21} \Pi_G}{1 - S_{11} \Pi_G} \rightarrow \text{duale a prima: SOLO DAL GENERATORE!}$$



Si può scrivere Π_{out} come:

$$\Pi_{out} = |b_{0L}|^2 \frac{l - |\Gamma_L|^2}{1 - \Pi_L \Pi_{out}} = |b_{0L}|^2 \frac{|S_{21}|^2 (1 - |\Pi_L|^2)}{|1 - S_{11} \Gamma_G|^2 |1 - \Pi_L \Gamma_L|^2}$$

Manipolo il denominatore:

$$|1 - S_{11} \Gamma_G|^2 |1 - \Pi_L \Pi_{out}|^2 = \left| 1 - \Pi_L \left(S_{22} + \frac{S_{21} S_{12} \Pi_G}{1 - S_{11} \Gamma_G} \right) \right|^2 |1 - \Pi_G S_{11}|^2 =$$

$$= |1 - \Gamma_G S_{11}|^2 |(1 - \Pi_L S_{22})(1 - S_{11} \Gamma_G) - \Pi_L \Gamma_G S_{21} S_{12}|^2 |1 - S_{22} \Pi_L|^2 \left| 1 - S_{11} \Gamma_G - \frac{\Pi_G S_{12} S_{21} \Pi_L}{1 - S_{22} \Pi_L} \right|^2 =$$

$$\Pi_{out} \rightarrow b_2 = b_0 + \Pi_{out} a_2$$

$$\hookrightarrow b_0 = b_0 \frac{S_{21}}{1 - S_{11} \Gamma_G}$$

$$(\Pi_L = 0: \text{chiudiamo su } R_Q!)$$

(12)

$$\left| 1 - \Gamma_{G,22} \right|^2 \left| 1 - \Gamma_L \left(S_{11} + \frac{S_{21} S_{12} \Gamma_L}{1 - S_{22} \Gamma_L} \right) \right|^2 = \underbrace{\left| 1 - S_{22} \Gamma_L \right|^2 \left| 1 - \Gamma_G \Gamma_{in} \right|^2}$$

Definizione dei guadagni:
Si definiscono i seguenti parametri:

- P_{in} : potenza effettiva in ingresso;
- P_{out} : potenza effettiva sul carico;
- P_{dispon} : potenza disponibile al gen;
- $P_{dispon,L}$: potenza disponibile al L.

dunque: 3 guadagni (almeno):

$$G_{op} = \frac{P_L}{P_{in}} \quad (\text{power gain, "guadagno operativo"}) \rightarrow \text{dipende da } \Gamma_L$$

$$G_{disp} = \frac{P_{dispon,L}}{P_{dispon}} \quad (\text{available gain}) \rightarrow \text{dipende da } \Gamma_G$$

$$G_t = \frac{P_L}{P_{dispon}} \quad (\text{transduced gain}) \rightarrow \text{dipende da } \Gamma_G \text{ e } \Gamma_L$$

Ricorda il concetto fondamentale: P_{in} è quella del generatore, ed essa dipende da Γ_G ; noi abbiamo Γ_{in} e Γ_{out} ; questo capita perché per varicare P_{in} si deve variare Γ_{in} , e Γ_{in} NON dipende da Γ_G :
deve variare Γ_{in} , e Γ_{in} NON dipende da Γ_G !
 $P_{in} = |b_0|^2 (1 - |\Gamma_{in}|^2)$ [ma NO dipende da Γ_G !]

P_{in} finisce in eletti sul carico.
Anche P_L dipende fortemente da Γ_L ; ciò che finisce in eletti sul carico.

dipende dal carico!
In altre parole: P_{in} dipende da Γ_{in} , il quale NON dipende da Γ_G , e direttamente da Γ_G .

Proponiamo le espressioni complete:

$$P_L = |b_0|^2 \frac{1 - |\Gamma_L|^2}{|1 - \Gamma_{out} \Gamma_L|^2} = |b_0|^2 \frac{|S_{21}|^2 (1 - |\Gamma_L|^2)}{|1 - |\Gamma_G \Gamma_{in}|^2 |1 - S_{22} \Gamma_L|^2}$$



$$P_{in} = |b_0|^2 \frac{1 - |\Gamma_{in}|^2}{|1 - \Gamma_G \Gamma_{in}|^2}$$

$\Rightarrow \frac{P_L}{P_{in}}$ NON DIPENDE da Γ_G ; si ha una dipendenza tra P_{in} e Γ_G , la quale SI SEMPLIFICA con quella di P_L . Non si può dir altrettanto per quelle di P_L .

$G_{disp} = \frac{P_{displ}}{P_{dispon}}$; $P_{dispon} = \frac{|b_0|^2}{1 - |\Gamma_G|^2}$; P_{displ} è la potenza di uscita quando $\Gamma_L = \Gamma_{out}^*$; in tali condizioni:

$$P_{out} = |b_0|^2 \frac{|b_0|^2 (1 - |\Gamma_L|^2)}{(1 - \Gamma_L \Gamma_{out})^2 |1 - S_{22} \Gamma_L|^2}$$

$$\text{diventa } P_{displ} = \frac{|b_0|^2 |S_{21}|^2}{(1 - |\Gamma_{out}|^2)(1 - \Gamma_G \Gamma_{in})^2}$$

\Rightarrow queste espressioni dipendono tutte e sole da Γ_G !

Faccendo conti, si vede che G_t dipende sia da Γ_L , sia da Γ_G : si va a vedere quanto il carico assorbe rispetto a quanto si ha in ingresso.

Il miglior trasferimento di potenza si ha quando:

$$\left\{ \begin{array}{l} P_{in} = P_{displin} \\ P_L = P_{displ,L} \end{array} \right. \rightarrow \left\{ \begin{array}{l} \Gamma_G = \Gamma_{in}^* \\ \Gamma_L^* = \Gamma_{out} \end{array} \right. \Rightarrow \left\{ \begin{array}{l} \Gamma_{G, \text{opt}} \\ \Gamma_{L, \text{opt}} \end{array} \right\} \text{ valori che assieme massimizzano il trasferimento di potenza.}$$

A questa condizione, i 3 guadagni sono MASSIMI e CONCIDONO.

Nota: se il carico è reattivo, $G_{op} = \emptyset$; infatti:

$$P_L \propto (1 - |\Gamma_L|^2) \rightarrow \text{se il carico è reattivo } |\Gamma| = 1, P_L = \emptyset.$$

Cerchi di guadagno: i luoghi dei punti per cui il G_{op} è costante, sulla circonference di Γ_L , sono

Si può dimostrare che i luoghi dei punti per cui il G_{op} è costante, sulla circonference di Γ_L , sono dei cerchi. Il valore max di G_{op} si dimostra essere:

$$G_{op, \text{max}} = \left| \frac{S_{21}}{S_{22}} \right|^2 \left(K - \sqrt{K^2 - 1} \right), \quad K = \frac{1 - |S_{11}|^2 - |S_{22}|^2 + |\Delta_S|^2}{2|S_{12}||S_{21}|} \quad |K| \text{ "coefficiente di Linville".}$$

La stessa cosa si può fare per $G_{available}$ e Γ_G

$$G_{t, \text{max}} = G_{op, \text{max}} - HAG; \quad \text{Max Available Gain (o } G_{\text{max}}\text{)}, \quad K \geq 1$$

Si definisce HUG (Max Unilateral Gain) come: $HAG \mid S_{11} = \emptyset$

$\hookrightarrow \left. \begin{array}{l} \Gamma_{in} = S_{11} \\ \Gamma_{out} = S_{22} \end{array} \right\} \text{ utile per far i conti è mancante.}$

$$\hookrightarrow \left. \begin{array}{l} \Gamma_L = S_{22}^* \\ \Gamma_G = S_{11}^* \end{array} \right\} \Rightarrow \text{HUG: } \frac{|S_{21}|^2 K}{(1 - |S_{11}|^2)(1 - |S_{22}|^2)}$$

$$MSG: \text{ Max Stable Gain: } K=1 \Rightarrow \left| \frac{S_{21}}{S_{22}} \right|$$

Due-porta cancelli - STABILITÀ

Per porsi il problema, si deve risolvere il sistema di prima, ma OMOGENEO; noi vogliamo che il range della matrice non Γ_1 , in modo che non vi siano modi autosostenuti. $\Rightarrow \Delta_S \neq \emptyset$!!!

$$\hookrightarrow (1 - S_{11} \Gamma_G)(1 - S_{22} \Gamma_L) - S_{12} S_{21} \Gamma_G \Gamma_L \neq \emptyset! \quad \text{racchiudendo:}$$

$$\hookrightarrow (1 - S_{11} \Gamma_G) \left[1 - S_{22} \Gamma_L - \frac{S_{12} S_{21} \Gamma_G \Gamma_L}{1 - S_{11} \Gamma_G} \right] = (1 - S_{11} \Gamma_G) \left[1 - \Gamma_L \underbrace{\left(S_{22} - \frac{S_{12} S_{21} \Gamma_G}{1 - S_{11} \Gamma_G} \right)}_{P_{out}} \right] =$$

$$= (1 - S_{11} \Gamma_G)(1 - \Gamma_{out} \Gamma_L) \neq \emptyset! \quad \text{dualmente, si può provare:}$$

$$(1 - S_{22} \Gamma_L)(1 - \Gamma_{in} \Gamma_G) \neq \emptyset$$

Ora supponiamo che $|\Gamma_G|, |\Gamma_L| \leq 1$ (terminazioni PASSIVE), e che $|S_{11}|, |S_{22}| \leq 1$.

La condizione così diventa:

$$\begin{cases} |\Gamma_G \Gamma_{in}| = 1 \\ |\Gamma_L \Gamma_{out}| = 1 \end{cases} \Rightarrow |\Gamma_G \Gamma_{in}| \leq 1 \quad \text{O} \quad |\Gamma_L \Gamma_{out}| \leq 1$$

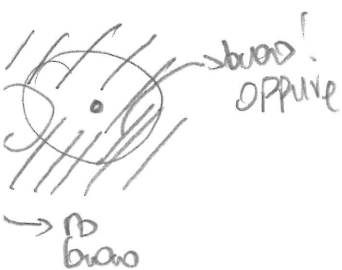
SIAM SICURI DI
NON AVERE
INSTABILITÀ!

Stabilità
(incondizionata)

Che criterio utilizziamo per l'analisi? Usiamo la CORTOIMMAGINE: visualizziamo $\Gamma_G(\Gamma_{out})$ e $\Gamma_L(\Gamma_{in})$, su di una carta di Smith, e quello è l'insieme dei valori

di Γ_G e Γ_L accettabili per non aver instabilità!

Anche essi sono dei cerchi, + il bro interno/esterno (si disegna un cerchio e si vede dove sta il centro della cds):



Se tutta la cds sta nei "buoni", la stabilità è incondizionata qualsiasi terminazione passiva è OK!!!

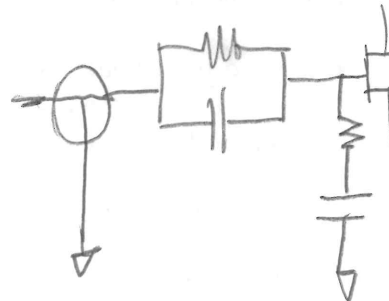
Criteri di stabilità

Una condizione LIMITE è: cerchi di stabilità TANGENTI alla cds;

$\rightarrow M_A = M_S G$!

Si stabilizzano i dispositivi con reti del tipo:

due parametri per la stab. incondizionale



$$K \leq 1 \quad \text{e} \quad |\Delta s| \leq 1$$

$$M_L = \frac{1 - |S_{11}|^2}{|S_{22} - S_{11} \Delta s| + |S_{12} S_{21}|} \leq 1$$

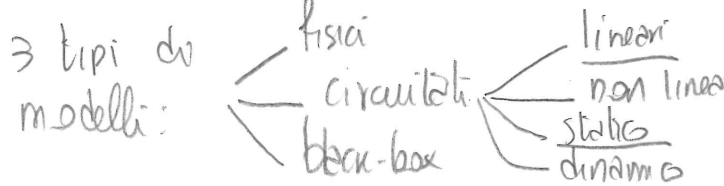
$$M_R = \frac{1 - |S_{22}|^2}{|S_{11} - S_{22} \Delta s| + |S_{12} S_{21}|} \leq 1$$

GRAFICA e mette

forniti!!! Una riga
suffice!!!

Modelli circuitali per FET

(15)



Noi useremo
mo dell'i lineari

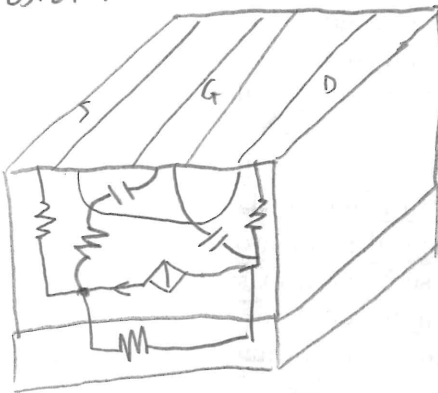
Per le piccole, come rappresentazione del modello lineare usiamo i parametri \leq : essi saranno misurati poi su una banda finita, limitata, e si estrapolerà un modello circuitale equivalente che si spererà funzionare su tutta la banda.
Si possono inoltre stimare i parametri di dispositivi riscalati.

Ad alta frequenza, 2 "sottomodelli": parità INTRINSECA ed ESTRINSECA.

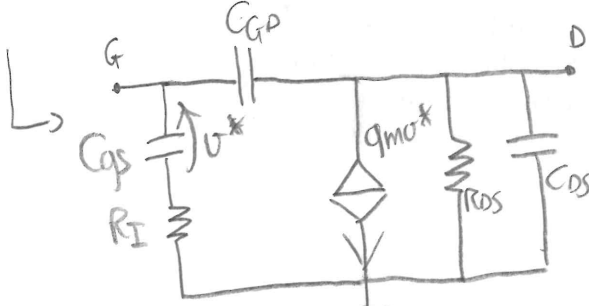
- intrinseca: modello vero e proprio del dispositivo;

- estrinseca: parassiti del circuito esterno / package!

MESFET:

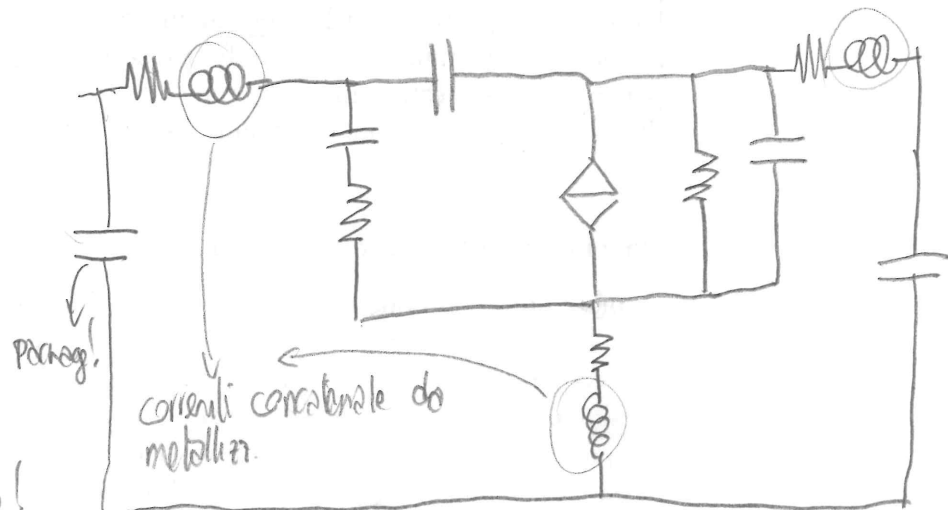


- Quando gli elettroni entrono nel source o escono dal drain, incontrano resistenze;
- G_{DS} e la tensione su essa determinano I_D ; essa (G_{DS}) deriva da una guisone Schottky.
- ↳ In realtà non sono concentrati ma distribuiti, dunque V_{GS} non è la vera tensione di pilotaggio; solo V^* !
- si ha un $\exp(j\omega t)$, $\beta \approx ps$



questo è il modello intrinseco...

e questo quello estrinseco!



Come si posson fare le misure?

- 1) FET freddo: misuro i soli 8 parametri parassiti estrinseci.
- 2) Poi, faccio la misura a FET caldo.

DIRE ALTO.

Calcolo \underline{Y} :

$$Y_{11} = j\omega C_{GD} + \left(\frac{1}{R_L} + j\omega C_{GS} \right) = j\omega C_{GD} + \frac{j\omega C_{GS}}{1 + j\omega R_I C_{GS}} \quad I = \underline{Y} \underline{V} \\ Y_{22} = \frac{1}{V_{GS}} \left[q_m v^* \exp(j\omega \beta) - V_{GS} j\omega C_{GD} \right] = \frac{q_m \exp(j\omega \beta)}{1 + j\omega R_I C_{GS}} - j\omega C_{GD}; \quad !!!$$

$$Y_{21} = \frac{1}{R_{DS}} + j\omega C_{GS} + C_{GD} i$$

$$Y_{12} = -j\omega C_{GD}$$

Fare \underline{S} a mano, segui nota! E disegni di spina:

Parametri di merito di un FET

f_T è la frequenza per cui la corrente ha amplificazione unitaria; altre f.
non si guadagna più in corrente, ma si guadagna in potenza!
Abbiamo la \underline{Y} del dispositivo; vogliam determinare la max. frequenza per cui
si ha ampli di potenza: f_{max} .

Si parla da:

$$\begin{bmatrix} Y_1 \\ Y_2 \end{bmatrix} = \begin{bmatrix} Y_{11} & Y_{12} \\ Y_{21} & Y_{22} \end{bmatrix} \begin{bmatrix} V_1 \\ V_2 \end{bmatrix} \rightarrow \text{se cortocircuito a } \Phi V \text{ hasaki, } V_2 = \Phi; \\ \Rightarrow Y_1 = Y_{11} V_1 i \quad \Rightarrow \quad \frac{Y_2}{Y_1} = \frac{Y_{22}}{Y_{11}} = h_{FE}$$

dove:

$$h_{FE} = \frac{q_m \exp(j\omega \beta) - j\omega C_{GD} (1 + j\omega R_I C_{GS})}{j\omega C_{GS} + j\omega C_{GD} (1 + j\omega R_I C_{GS})} \rightarrow \text{linearizzando in } \omega$$

$$\rightarrow h_{FE} \approx \frac{q_m \exp(j\omega \beta)}{j\omega (C_{GS} + C_{GD})} \rightarrow f_T = \frac{q_m}{2\pi (C_{GS+GD})} \quad h_{FO} \approx \frac{q_m \exp(j\omega \beta) - j\omega C_{GD}}{j\omega C_{GS} + j\omega C_{GD}}$$

$$\rightarrow \approx \frac{V_{sat}}{2\pi L_G}$$

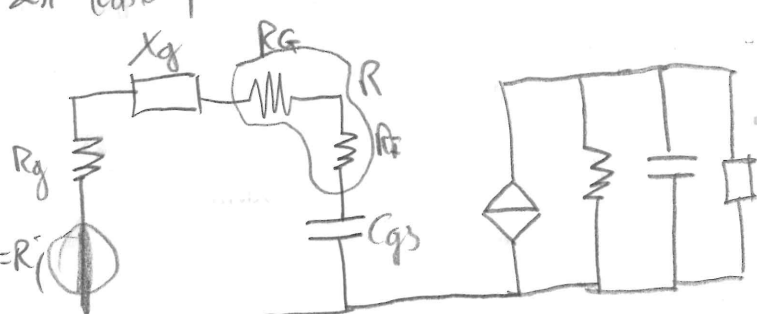
Per un FET unilaterale, si ha:

Vogendo adattamento energetico:

↓ la potenza è lo disponibile!

$$P_{in} = P_{dispo, in} = \frac{IV_{GS}^2}{4R_{GS}}$$

$$\begin{cases} R_{GS} = R_G + R_S = R_i \\ X_{GS} = \frac{L}{\omega C_{GS}} \end{cases}$$



About Z_L :

$$Z^* = \frac{Eg}{2j\omega C_{GS} R} \quad | \quad P_{\text{disp, out}} = \frac{|gm| v^*|^2}{4 R_{DS}} = \frac{|gm| v^*|^2 R_{DS}}{4}$$

$$\hookrightarrow HUG = \frac{P_{\text{disp, out}}}{P_{\text{disp, in}}} = \frac{\frac{gm^2 R_{DS}}{4 \omega^2 C_{GS}^2 R^2}}{\cancel{R_{DS}}} = \boxed{\frac{gm^2 R_{DS}}{4 \omega^2 C_{GS}^2 R}}$$

ma $\omega = 2\pi f$

$$\hookrightarrow f_{\text{max}} = \frac{L}{2\pi} \frac{gm}{2C_{GS}} \sqrt{\frac{R_{DS}}{R}} = \underbrace{\frac{gm}{2\pi C_{GS}}}_{f_T} \cdot \frac{1}{2} \sqrt{\frac{R_{DS}}{R_I + R_G}} = \boxed{\frac{f_T}{2} \sqrt{\frac{R_{DS}}{R_I + R_G}}}$$

Ma $R_{DS} \gg R_I + R_G$, dunque $f_{\text{max}} > f_T$!

Tenendo conto di C_{GS} , si trova:

$$f_{\text{max}} = \frac{f_T}{2} \sqrt{\frac{R_{DS}}{R_I + R_G + R_S + 2\pi f_T R_{DS} R_G C_{GS}}}$$

} aumenta all'aumentare di V_{sat}
dei materiali

Misura dei parametri del dispositivo

- 1) Si misura S del dispositivo
- 2) Si fa il de-embedding, ottenendo S_{int} .
- 3) Si passa da S_{int} a Y_{int} (trasformazioni).
- 4) Calcolo i parametri interni del modello.

FET Prodib; permettono di determinare i parassiti serie: si pongono S e D a $0V$, e al gate tensioni positive, così da mandare in diretta il chiodo Schottky; calcolando S si possono determinare i p. serie!

FET sottosoglia: con canale conduttivo "spopolato": la misura di S permette di determinare i parassiti paralleli (no corrente \rightarrow no serie!).

Modelli di ampio segnale

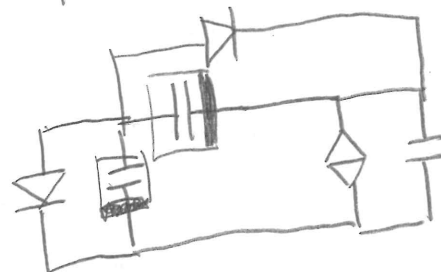
Modello quasi-statico; al variare dei parametri di polarizzazione, si misura no i vari parametri del modello: $g_m, C_{GS}, C_{GD} \dots$; a partire da tanti modelli si può segnare l'idea è trovarne uno di ampio segnale. (dirutto...) Non si può fare perché, oltre alle varie dipendenze, si ha una dipendenza diretta dei parametri dalla frequenza. In questa, nel modello quasi-statico, è perduta.

Modello di Curva quadratico

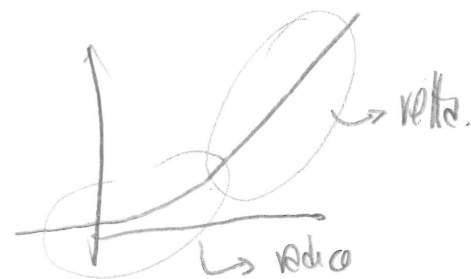
Si ha un modello di questo tipo:

- C_{GS} lineare, le altre NO;

$$C_{GS} = \begin{cases} \frac{C_{GS}\phi}{\sqrt{1 - \frac{V_{GS}}{V_{bi}}}} & V_{GS} \leq F_C V_{bi} \\ \frac{C_{GS}\phi}{\sqrt{1 - F_C}} \left[1 + \frac{V_{GS} - F_C V_{bi}}{2V_{bi}(1 - F_C)} \right] & V_{GS} \geq F_C V_{bi} \end{cases}$$



(si prolunga il modello con una retta)



Per il pilotato, si ha ciò:

$$i_D = \begin{cases} \beta (V_{GS} - V_{th})^2 (1 + \lambda V_{DS}) \tanh(\alpha V_{DS}) & V_{GS} > V_{th} \\ 0 & V_{GS} \leq V_{th} \end{cases}$$

\tanh NON HA SIGNIFICATO FISICO, ma "fitta bene". Il rapporto: mento, ed è $C^{(0)}$.

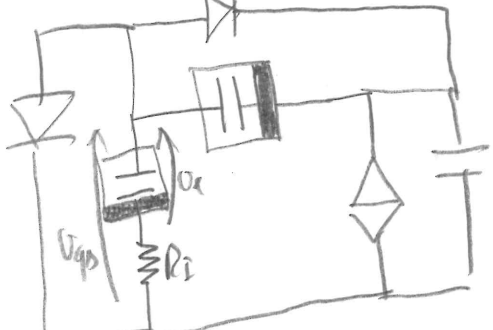


Con misure abso identificare α, β, λ

Modello di Curva cubico

- Introduce R_i ;
- Introduce $e^{\omega \tau}$;
- Vene i_D :

$$i_D = \begin{cases} \beta \left(\alpha_0 + \alpha_1 V_{GS} + \alpha_2 V_{GS}^2 + \alpha_3 V_{GS}^3 \right) (1 + \lambda V_{DS}) \tanh(\alpha V_{DS}) & \text{se } \alpha \\ 0 & \text{se } \phi \end{cases}$$

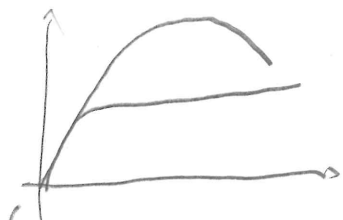
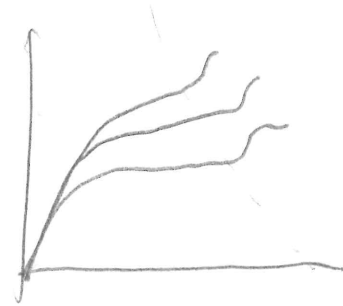


è migliorato perché nella realtà l'andamento è più "cubico" che quadratico: fitta meglio!

(19)

Limi^{li} di questi modelli; essi non tengono conto di alcuni effetti quali il soft-breakdown (dovuti alla presenza di trappole); non solo; essi variano abbastanza bene per i MOSFET, meno per gli HEMT, che han le caratteristiche "a plateau"; dovuta al fatto che la barriera Schottky dell'HEMT puo' andar bene anche un poco in polarizzazione diretta.

Per tener conto di ca^{si}, c'è il modello di Chalmers



PRIMI O EFFETTI

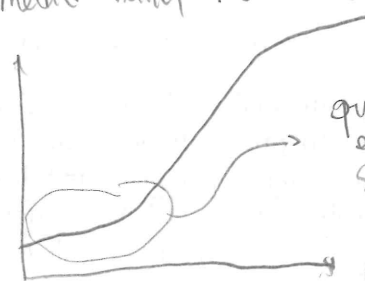
LIGO/HM7 AFFRONTI

RUMORE NEI CIRCUITI A RF

Il rumore si ha sempre, quantomeno nei dispositivi attivi; $v(t) = v_0(t) + n(t)$
 $n(t)$ è la componente dc rumore; esso ha media nulla, ma valore quadratico medo non nullo:

$$\langle n(t) \rangle = 0, \text{ MA } \langle n^2(t) \rangle > 0$$

si consideri un amplificatore
e la sua caratteristica:



questo effetto di saturazione
è dovuto al fatto che,
se $v_0(t) \approx n(t)$, l'uscita
non ha senso!
Non distinguere tra segnale
e rumore!

- Media nel tempo: 1 realizzazione neanche
- E : dato 1 ts, medio le realizzazioni! } $E = \langle \cdot \rangle \rightarrow$ ergodicità

funzione di autocorrelazione: di mutua correlazione:

$$R_{xx}(t, \tau) = \langle x(t)x^*(t-\tau) \rangle ; \quad R_{xy}(t, \tau) = \langle x(t)y^*(t-\tau) \rangle ;$$

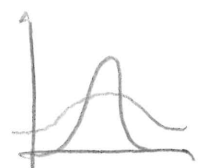
spettro di correlazione

$$S_{xy}(f) = \int_{-\infty}^{+\infty} R_{xy}(\tau) e^{-j2\pi f \tau} d\tau$$

$$R_{xx}(\phi) = P_x.$$

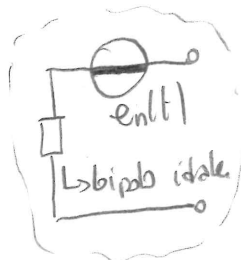
Correlazione: mostra quanto un segnale è simile a un altro o a sé stesso, traslato. Se il segnale è molto veloce, ossia varia rapidamente, la correlazione sarà bassa. Più la correlazione è alta, più lo spettro è "aperto", largo.

Rumore bianco: processo così rapido da esser SEMPRE scorrelato, se non per ritardo è nullo.



Modelli per il rumore

Bipolo: in circuito aperto ha comunque fluttuazioni sui propri capi:

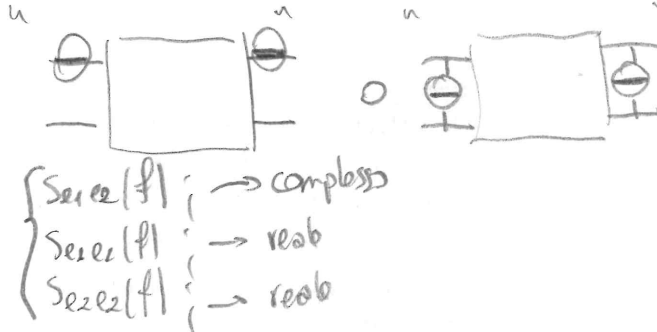


$$\text{Poiché } v = \bar{v} i, \\ L_{Sv} = |Z|^2 S_i$$

Due-parte: tensione (\rightarrow corrente)

alle 2 parti fluttua:

Serviranno 3 spolti: 2 di autocor., 1 di mutua.

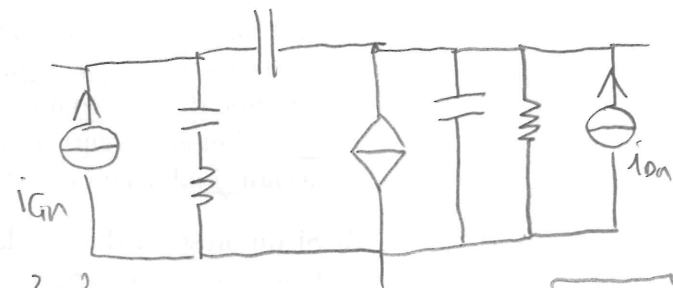


Ricorda: Teo fluttuazione - dissipazione

$$\hookrightarrow \begin{cases} S_{Vn} = k_{B} T R i & (\text{per una resistenza}) \\ S_{in} = k_{B} T G i \end{cases}$$

Modello PRC

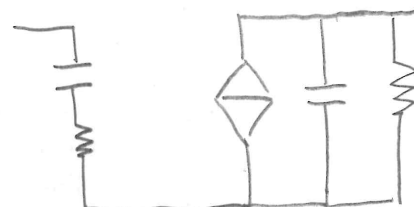
Per modellare il FET sotto il punto di vista del rumore si usa il solito modello di segnali più alcuni generatori di rumore. Fluttuazioni sulla corrente di gate & di drain.



$$S_{11n}(w) = k_{B} T g_m P \quad ; \quad S_{in}(w) = k_{B} T_D \frac{\omega^2 C_{GS}^2}{g_m} R \quad ; \quad S_{in,ion}(w) = j C \sqrt{S_{ion} S_{in}}$$

dove P, R, C sono dei PARAMETRI introdotti per modellare l'effetto di canale corto nel dispositivo. C nella fattispecie rende non-puramente-immaginaria la mutua correlazione fra i due spolti. P, R e C si possono estrarre via simulazione.

Modello a 2 temperature: invece che usare tutti quei generatori, si finge che R_I e R_{DS} siano a una temperatura diversa dalla ambienti:



$$S_{11n} = k_{B} T_F \omega^2 C_{GS} R_I \quad ; \quad S_{in} = k_{B} T_D (T_F g_m^2 R_I + T_D G_{DS}) \quad ;$$

$$S_{in,ion} = j 4 k_B T_F \omega C_{GS} g_m R_F \quad ; \quad \text{Spesso, } T_F \approx T_{ambiente} \quad (\text{modello a 1 temperatura}).$$

Cifra di rumore

È un parametro per la quantificazione del rumore.



Si definisce lo FN come:

$$F_N = \frac{S_{ndisp,L}}{S'_{ndisp,L}} \rightarrow \text{densità spettrale di pot.}$$

$$F_N = \frac{S_{ndisp,L}}{S'_{ndisp,L}} \rightarrow \text{densità spettrale di pot. dato FET non rumore}$$

Definisco dunque $S'_{ndisp,L}$ come quella dovuta al solo ingresso, S_{ndisp} come quella del solo FET:

$$S'_{ndisp,L} = S_{ndisp} - S_{ndisp,in}$$

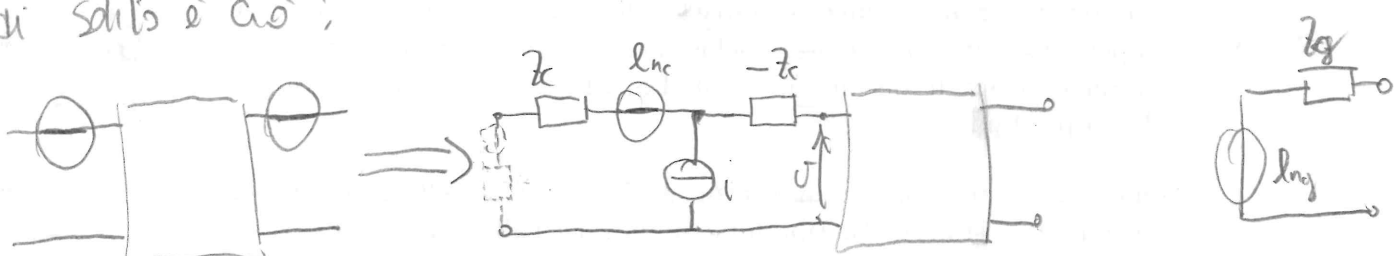
$$\hookrightarrow F_N = L + \frac{S_{ndisp,L}}{S'_{ndisp,L}} = L + \frac{\frac{G_{ndsp}}{R_{ndsp}} S_{ndisp,in}}{\frac{G_{ndsp}}{R_{ndsp}} S_{ndisp,in}} = 1 + \frac{S_{ndisp,in}}{\frac{R_{ndsp} T_{eq}}{X_R}} = 1 + \frac{S_{ndisp,in}}{\frac{R_{ndsp} T_0}{X_R}} \hookrightarrow \text{densità spettrale di p. disponibile}$$

In alternativa a F_N si può pure usare una

$$T_{eq}: S_{ndisp} = K_B T_{eq} \quad (\text{dove } T_{eq} \text{ è questa temperatura})$$

Cifra di rumore per un circuito bipolare

Cioè che si fa per modellare un 2-porta sotto il punto di vista del rumore di solito è ciò:



Queste due Z_c | $-Z_c$ servono per scomporre i due generatori: grazie a questo artificio, ora $S_{n1c,i} = 0$. Si introduce ora il generatore:

$$J = l_{ng} - l_{nc} + i(Z_c + Z_g)$$

Ora: per calcolare la F_N si può far ciò: data la tensione di ingresso "o":

$$S_O = S_{OO} = \langle J \cdot v^* \rangle = L(l_{ng} - l_{nc} + i(Z_c + Z_g)) (l_{ng} - l_{nc} + (Z_c + Z_g) * i^*) =$$

$$= S_{eng} + S_{enc} + S_i |Z_c + Z_g|^2$$

$$\text{mentre: } S_{eng} = L_{ng} T_{Rg}; \quad S_{enc} = L_{nc} T_{Rn}; \quad S_i = L_{ng} T_{gn};$$

$$\hookrightarrow F_N = \frac{S_O}{S_{eng}} = 1 + \frac{Y_n}{R_g} + \frac{G_n}{R_g} |Z_c + Z_g|^2 ;$$

Non dipende dal carico, ma solo dai parametri del 2-porta!

Derivando, si ottiene

$$\text{l'espressione dei carichi ottimi: } R_{gopt} = \sqrt{\frac{Y_n}{G_n} + R_c^2} \quad ; \quad X_{gopt} = -Z_c.$$

Si ottiene, con questi parametri:

$$F_N = L + 2g_m R_G + 2g_m \sqrt{\frac{R_L}{g_m} + R_S^2} \Rightarrow F_N = F_{N\min} + \frac{Lg_m}{R_g} \frac{|2g_m + 2g_{m\text{opt}}|^2}{|2g_{m\text{opt}}|^2}$$

Con $F_{N\min}$, g_m , R_g e $X_{g\text{opt}}$ posso caratterizzare in termini di rumore il dispositivo.

Si può ricavare così dal PRC:

$$F_{N\min} \approx L + 2K_1 \frac{f_T}{f_T} \sqrt{g_m (R_g + R_S) K_2}$$

$$g_m \approx g_{m\text{opt}} K_1 \left(\frac{f_T}{f_T} \right)^2$$

$$Z_{SD} = \sqrt{\frac{g_m (R_g + R_S) + K_2}{\omega C_{GS} K_1}} + j \frac{P - C V_R C}{\omega C_{GS} K_1^2}$$

$$K_1 = \sqrt{P + \epsilon - 2C \sqrt{PR}}$$

$$\text{dove } K_2 = \frac{PR(1 - C^2)}{K_1}$$

$$f_T = \frac{g_m}{2\pi C_{GS}}$$

Abbiamo detto che NON si ha dipendenza di NF dal carico; invece, si ha una certa dipendenza dal R_g . Se ora ripartiamo su R_g le curve per cui, al variare di R_g , si ha NF costante, i suddetti luoghi dei punti sono cerchi. Ci sarà poi un cerchio per cui $NF = NF_{\min}$.

Purtroppo, questi cerchi NON CONCERNONO con quelli a quadriago costante: richiedere alto quadriago e basso rumore è impossibile, senza dei trade-off. Piangolare a minimo rumore significa disebattere energeticamente, dunque rischia di avere un VSWR elevato.

Formula di Fakui:

$$F_{N,\min} \approx L + 2K_1 \frac{f_T}{f_T} \sqrt{g_m (R_g + R_S)} \quad (\text{già scritta prima})$$

Nel caso degli HEMT, $K_1 \approx 0,1$; per i MESFET, $K_1 \approx 0,3$; per questo gli HEMT si usano per basso rumore e medio potenza.

Le formule si può espanderlo:

$$F_{N\min} \approx L + 2 \frac{f_T}{f_T} \sqrt{\frac{I_D}{E_{th} L_g g_m}} \sqrt{(R_g + R_S) \rho_m}$$

al crescere di I_D , F_N aumenta: essa si riduce al ragionevole di f_T , e con candele lunghe.

Il motivo per cui HEMT è meglio è il fatto che la max g_m è presente per I_D minori.



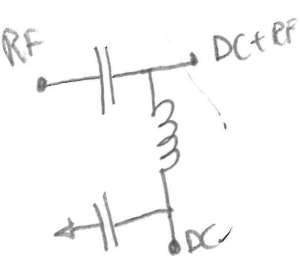
Amplificatori Lineari

Dispositivi: o FET o HBT; usiamo FET.

Sceglior punto di lavoro; a seconda dell'obiettivo, alto/bassa corrente (piccolo spazio dinamico utile risulta corrente elevata), per basso rumore, fa bassa (veri FET), dunque andrà gm sarà basso



bias - T: si deve combinare la RF alla DC, ma esse non devono "vedersi". Lo shunt di base sarà qualcosa del tipo:

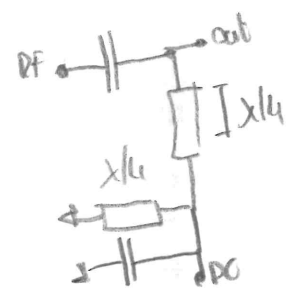


Questo è a p. concentrati, MA si può anche far e distribuiti (gli L dissolti son in linea); i condensatori anche in serie).

Con questo shunt, la RF può andar all'uscita ma non all'ingresso DC, e viceversa. (preferito a monofilici)

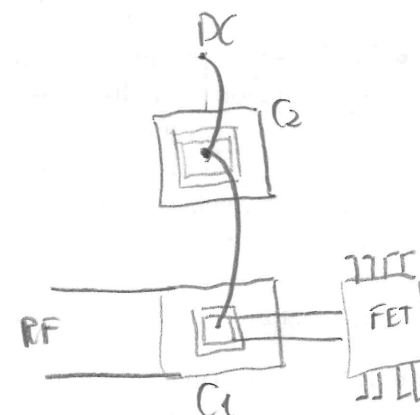
cioè deve valere su banda larga: la DC non deve entrare nel circuito RF.

A p. distribuiti:



(preferito a concentrati).

2 reti:
gate: poco potenza
drain: molti potenza



Una realizzazione pratica può essere la seguente;

dove C_1 e C_2 sono condensatori HfM

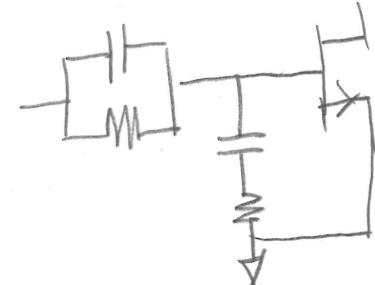
Stabilizzazione

Si deve stabilizzare, introducendo perdite: riduce i guadagni, ma ottengo stabilità incondizionata. Si potrebbe, nel caso i carichi sian noti, lavorare solo nei cerchi di stabilità, ma solo SE il cerchio è ben noto.

Una rete di stabilizzazione può esser la seguente:

Reti passa-alto: dobbiamo ridurne le perdite in banda e aumentarle prima che i "C" si chiudano. A meno che il progetto non sia ad orologio chiuso. NON si mette sulla "GD".

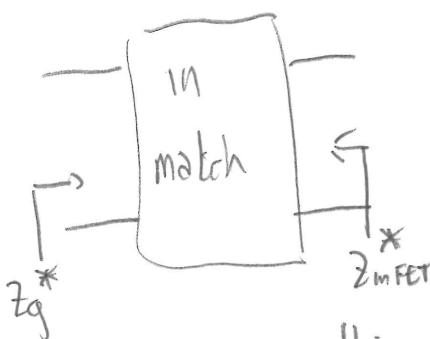
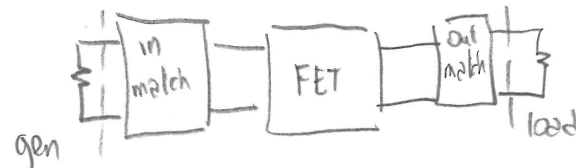
Si mette sul gate poiché circola meno corrente (e meno che il progetto non sia a basso rumore).



Adattamento

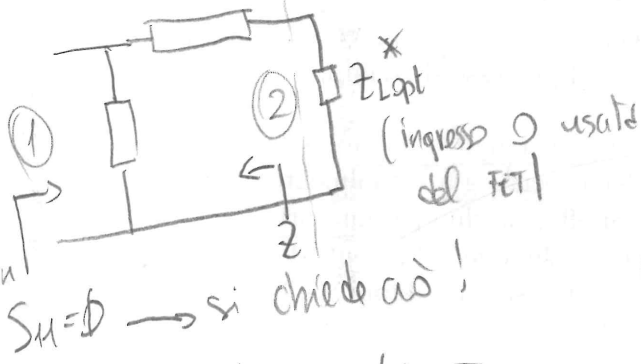
→ Trasformare imp di carico generatore in quella ottima!

Al generatore si deve avere una condizione del tipo:

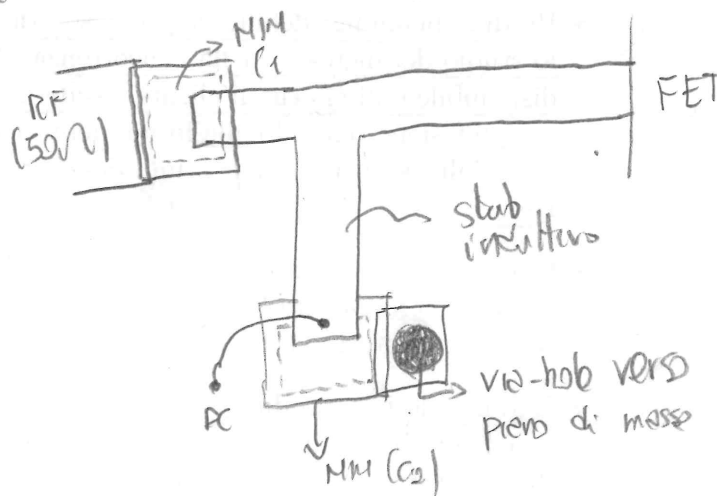


In questi modi adattano sia a sinistra sia a destra, e quindi il generatore dà il massimo alla rete di matching, e la rete di match al FET.

Se lo in-match è resistivo, le condizioni possono essere verificate al contempo.
Non è fatto (vorrei) che queste reti adattino già nel caso degli LNA
non ospita → conviene aggiungere perdi, per dissipar la potenza riflessa.
Si può fare così:

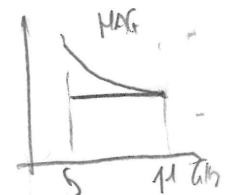


Se si ottimizza in questi modi l'adattamento,
si fa in modo da far vedere come Z_1 ,
 Z_{opt} , ottenendo il carico libero.



Amplificatori a banda larga

Vogendo far un amplificatore guadagni il MAG su una banda larga (es. 9÷11 GHz), bisognerebbe adattare "bene" per 2GHz → interviene il limite di fondo; più allarghi la banda, più dovrà tener un disadattamento, e dunque delle riflessioni più meno che non aumenti eccessivamente il numero di celle di adattamento. Il MAG è variabile con f_1 , dunque ciò che si fa è prendere il punto alla f più alta e usar quello. Questo significa che avranno in disadattamento "intenzionale", dunque riflessioni. Una delle due dunque non sarà una rete di matching, bensì di equalizzazione. Se quella di eq. poi ha elementi resistivi, si possono pure dissipare le riflessioni.

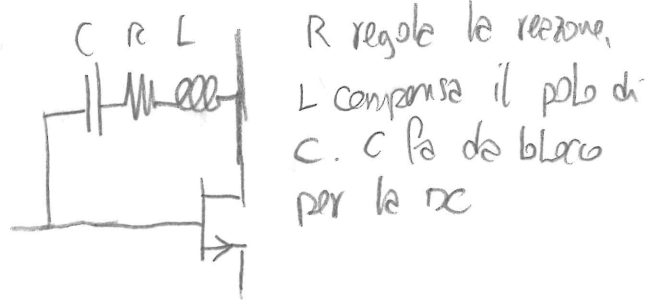
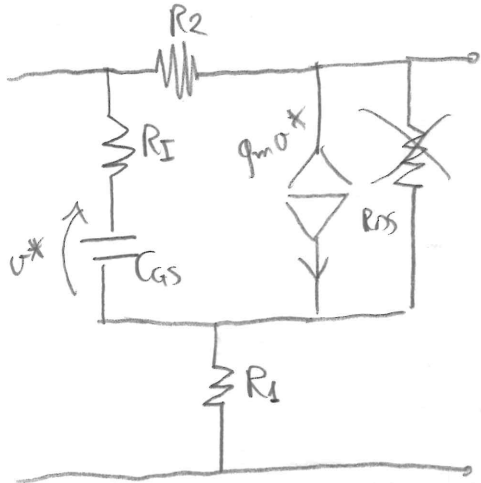


Amplificatore in anello chiuso

Si può anche scegliere di reazionare il FET; ciò taglia il guadagno, ma allarga molto la banda e migliora la stabilità!

S_{21} deve essere MOLTO ELEVATA in modo da aver un guadagno decente ad anello chiuso.

Si ha un modello eq. del tipo:



R regola la reazione,
L compensa il polo di
C. C fa da blocco
per la DC

Si trascura R_{DS} e ottiene:

$$S_{11}(\phi) = \frac{(R_2 R_1 - R_\phi^2) g_m + R_2}{(2 R_0 R_1 + R_2 R_1 + R_\phi^2) g_m + 2 R_0 + R_2}$$

$$S_{12}(\phi) = 2 R_0 \frac{L + R_\phi g_m}{D}$$

$$S_{21}(\phi) = -2 R_0 \frac{(R_2 - R_1) g_m}{D}$$

$$S_{22}(\phi) = \frac{(R_2 R_1 - R_\phi^2) g_m + R_2}{D}$$

Per adattare:

$$(R_2 R_1 - R_\phi^2) g_m + R_2 = \phi$$

$$R_L = \frac{R_\phi^2}{R_2} - \frac{1}{g_m}$$

(g_m deve essere abbastanza grande)

$$S_{12}(\phi) = 2 R_0 \frac{L + \frac{R_\phi^2}{R_2}}{\left[\frac{2 R_0^3}{R_2} - 2 \frac{R_0}{g_m} + R_0^2 - \frac{R_2}{g_m} + \frac{R_0^3}{R_2} - \frac{R_0^2}{g_m} \right] g_m + 2 R_0 + R_2} = \dots = \frac{R_0}{R_0 + R_2}$$

$$S_{21}(\phi) = \dots = \frac{R_0 - R_2}{R_0} = L + \frac{R_0}{B}$$

Ora, un po' di manipolazione: noi vogliamo che $R_L > 0$;

$$\frac{R_\phi^2}{R_2} - \frac{1}{g_m} > 0 \rightarrow g_m \geq \frac{R_2}{R_\phi^2}$$

ricondando $S_{21} = 2 g_m R_0$
che:

$$\rightarrow 2 g_m R_0 \geq 2 \frac{R_2}{R_\phi^2}$$

$\frac{|S_{21}|}{|S_{21}|^{(f)}}$

$\rightarrow |S_{21}| > 2 [1 + |S_{21}|^{(f)}]$

↓
del dispositivo

del sistema reazionato

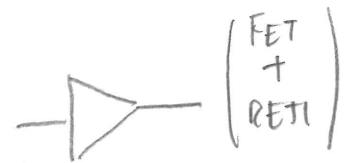
Un'alternativa è cortocircuittare il source ($R_s=0$), e dunque usare g_m :

$$g_m = \frac{R_2}{R_1^2} R_2 \text{ fissata dal guadagno.}$$

Ciò si può fare, risalendo W o L. Il rischio è che R_{ds} si riduca troppo, rendendo pessimo l'adattamento in uscita.

Amplificatore bilanciato

Si considerino due ampli NON reazionali a banda larga:

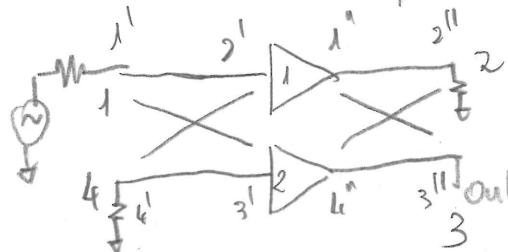


Essi avranno un pol di disadattamento (obbligo per esempio all'equalizzazione).

Si usino degli accoppiatori branch-line:

$$C = 3 \text{ dB}, L = 90^\circ$$

\Rightarrow



$$\begin{bmatrix} 0 & 1 & -1 & 0 \\ 1 & 0 & 0 & -j \\ -1 & 0 & 0 & j \\ 0 & -j & 1 & 0 \end{bmatrix}$$

Se gli amplificatori sono osattamente uguali,

$$\left\{ \begin{array}{l} b_1 = \frac{1}{\sqrt{2}} (a_2 - ja_3) \\ a_4 = 0 \end{array} \right. \quad \left. \begin{array}{l} b_2 = \frac{ja_1}{\sqrt{2}} \\ b_3 = -ja_1 \end{array} \right. \quad \left. \begin{array}{l} a_2 = \frac{\Gamma_L}{\sqrt{2}} a_1 \\ a_3 = -j \frac{\Gamma_L}{\sqrt{2}} a_1 \end{array} \right.$$

$$b_1 = \frac{j}{\sqrt{2}} \frac{1}{\sqrt{2}} (\Gamma_L a_1 - \Gamma_L a_1) = 0 \rightarrow \underline{\text{NO RIFLESSIONE IN INGRESSO}}. \text{ (manca in uscita)}$$

Gli ampli vengono il 50Ω .

Dunque il FET è disadattato come secondo progetto, ma al generatore e all'uscita abbiano adattamento. La potenza riflessa dei FET viene mandata sulla porta isolata, dove viene dissipata sul 50Ω .

dunque:

$$P_{in} = 0 \rightarrow 50\Omega$$

$$P_{out} = 0 \rightarrow 50\Omega$$

$$G = |S_{21}|^2$$

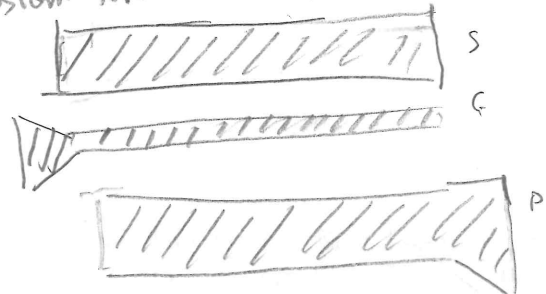
Amplificatore distribuito
Finora sono stati visti ampli concentrati i volendo una banda LARGHISSIMA,
con G di qualche dB, ci sono altre soluzioni.
Analizziamo il problema banda-quadrato:



$$Av(\phi) = \frac{V_L}{V} = \frac{S_{21}(\phi)}{2} = \frac{2gmL}{2} \cdot gmR_L \quad | \quad f_{-3dB} = \frac{1}{2\pi C_{GS}(R_L + R_S)} \approx \frac{1}{2\pi R_L C_{GS}}$$

$f_T \approx \frac{gm}{2\pi C_{GS}}$ → avendo i poli, il prodotto banda-quadrato è limitato!

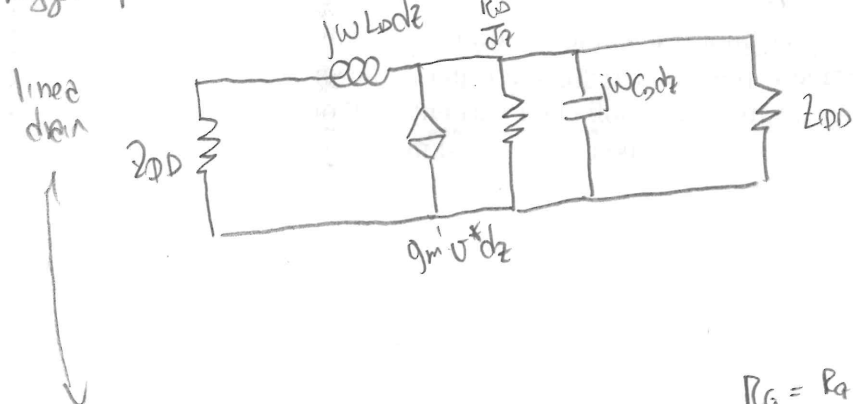
Cose possiamo fare? Un'alternativa è usare una "Teline". Un "FET distribuito"!



si ha una linea di Tx di gate
e una di drain

Sul gate si propaga un segnale a RF che genera correnti sul drain, in maniera distribuita!

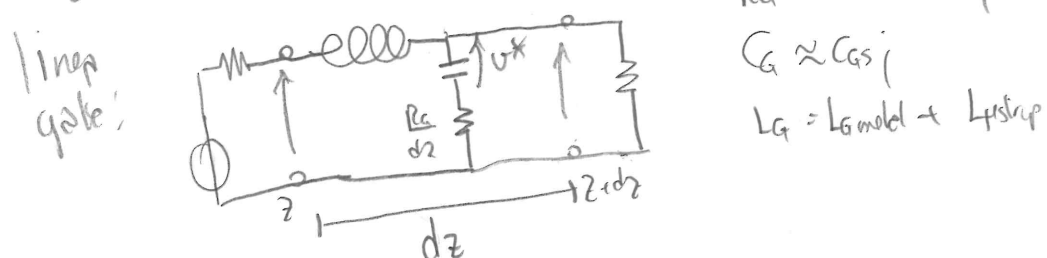
La metallizzazione di gate è sottile, quella di drain più spessa, poiché deve reggere più corrente. Si trascura la reazione C_{GD} , e si ha questo modello:



$$Z_{DD} = Z_{DDs} + Z_{DDr}$$

$$C_D \approx C_{GSS}$$

$$R_D \approx R_{DS} + R_{HSS}$$



$$R_G = R_{Gmet} + R_I$$

$$C_G \approx C_{GS}$$

$$L_G = L_{Gmet} + L_{strip}$$

La linea di drain è una linea attiva lineare i calcoliamo i vari parametri:

$$Z_G = j\omega L_G$$

$$Y_G = \frac{j\omega C_G}{1 + j\omega Z_G}$$

$$Z_{DG} = \sqrt{\frac{Z_G}{Y_G}} = \sqrt{1 + j\omega Z_G} \sqrt{\frac{L_G}{C_G}}$$

dove, per evitare dispersione in frequenza:

$$|j\omega Z_G| \ll 1$$

$$\gamma = \sqrt{Z_0 \cdot Y_0} = j\omega \sqrt{L_G C_G} \sqrt{\frac{1}{1+j\omega^2 Z_G}} \rightarrow \approx j\omega \sqrt{L_G C_G} \left(1 - \frac{1}{2} j\omega^2 Z_G \right) =$$

$$= j\omega \sqrt{L_G C_G} + \frac{1}{2} \omega^2 Z_G \sqrt{L_G C_G}$$

$$\beta_G = \omega \sqrt{L_G C_G}$$

$$\alpha_G = \frac{1}{2} \omega^2 Z_G \sqrt{L_G C_G}$$

} linea "tradizionale",
con perdite

Per le linee di drain:

$$Z_D = j\omega L_D \quad Y_D = j\omega C_D + \frac{1}{R_D} = j\omega C_D \left(1 + \frac{1}{j\omega Z_D} \right) = j\omega C_D \left(\frac{1 + j\omega Z_D}{j\omega Z_D} \right)$$

ora $j\omega Z_D \gg 1$!

Poi:

$$Z_{D0} = \sqrt{\frac{Z_D}{Y_D}} \approx \sqrt{\frac{L_D}{C_D}}$$

$$\gamma_D = j\omega \sqrt{L_D C_D} \sqrt{\frac{1+j\omega^2 Z_D}{j\omega Z_D}} \approx j\omega \sqrt{L_D C_D} \left(1 + \frac{1}{2} \frac{1}{j\omega Z_D} \right) =$$

$$= j\omega \sqrt{L_D C_D} + \frac{1}{2} \frac{\sqrt{L_D C_D}}{Z_D} \quad (\text{dove non dipende da } f; \text{ la linea di drain è NENO DISPERSIVA})$$

Per aver sincronismo

$$B_D = B_G \rightarrow [L_D C_D = L_G C_G] \quad | \text{ molto difficile da realizzare} |$$

Definiti i parametri di queste linee, passiamo all'eq. dei telegrafisti:
 $V_G(z) = V_G(0) \exp(-\gamma_G z)$ ($V_G(0) = \frac{E_g}{2}$)
 Dall'osservazione del circuito, si vede:

$$\begin{cases} V_D(z+dz) = V_D(z) - Z_D I_D(z) dz \\ I_D(z+dz) = I_D(z) - q_m V^* dz - Y_D V_D(z+dz) dz \end{cases}$$

$$\text{dove: } q_m^* = q_m \frac{V_G}{1+j\omega Z_D}$$

$$\rightarrow \frac{d^2 V_D(z)}{dz^2} = \gamma_D^2 V_D(z) + \underbrace{\frac{q_m Z_D}{1+j\omega^2 Z_D} \frac{E_g}{2} \exp(-\gamma_G z)}_{\text{termine forzante}}$$

per $z \rightarrow 0$, ordinando,

L'eq. aveva una sol. generale e una particolare: V_1 è quella della omogeneità, V_2 quelle particolari.

$$V_1 = V^* \exp(-\gamma_G z) + V^- \exp(\gamma_G z)$$

Condizioni al contorno;

$$\begin{cases} V_D(0) = Z_D \left(I_D(0) \right) \\ V_D(L) = Z_D \left(I_D(L) \right) \end{cases}$$

$$V_2 = \frac{E_g}{2} \frac{q_m}{1+j\omega^2 Z_D} Z_D \frac{\exp(-\gamma_G z)}{\gamma_G^2 - \gamma_D^2}$$

si trova:

$$A_V = -\frac{q_m Z_D}{2(1+j\omega^2 Z_D)} \exp\left(-\frac{\gamma_D + \gamma_G}{2} L\right) \frac{\sinh\left(\frac{\gamma_D - \gamma_G}{2} L\right)}{\frac{\gamma_D - \gamma_G}{2} L}$$

Il quadragramma vale !!!
con \textcircled{L}

Se non ci possono perdite, $\gamma \rightarrow \beta$; se ci possono perdite sincronismo.

$$Av \rightarrow \frac{q_m Z_{0s}}{2} \quad \text{dove } q_m = q_m' L$$

L deve essere lunga, per alzare il guadagno, ma non troppo, per non ammorbicare le perdite (e render gli α non trascurabili).

Una brama dice che:

$$L_{opt} = \frac{\log \left(\frac{\alpha_D}{\alpha_G} \right)}{\alpha_D - \alpha_G}$$

dopo aver chiesto:

$$\begin{cases} \beta_D = \beta_G \\ Z_{DG} = R_0 \\ Z_{DD} = R_0 \end{cases} \quad \begin{array}{l} \text{non} \\ \text{dovrei additare} \\ \text{e perder banda!} \end{array}$$

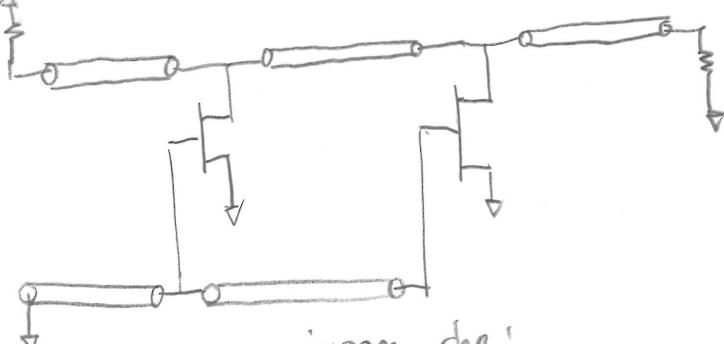
Il problema è che, di solito:

$$\begin{aligned} L_G &\gg L_D \\ \text{insieme:} \\ G_G &\gg C_D \end{aligned}$$

Richieder la condizione
di sincronismo è dunque
molto probabile.

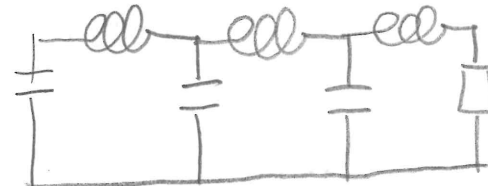
Amplificatore distribuito a celle discrete

l'idea è cercar di realizzare così, con delle celle discrete, di questo tipo:



in questo modo si creò quell'effetto
di cui si parlarà!

I FET sono indipendenti dalle linee,
dunque le Z_0 saranno "arbitrario" i



$$Z_0 = \frac{1}{j\omega C + \frac{1}{j\omega L + Z_0}} = \frac{j\omega L + Z_0}{\omega^2 L C + j\omega Z_0 C}$$

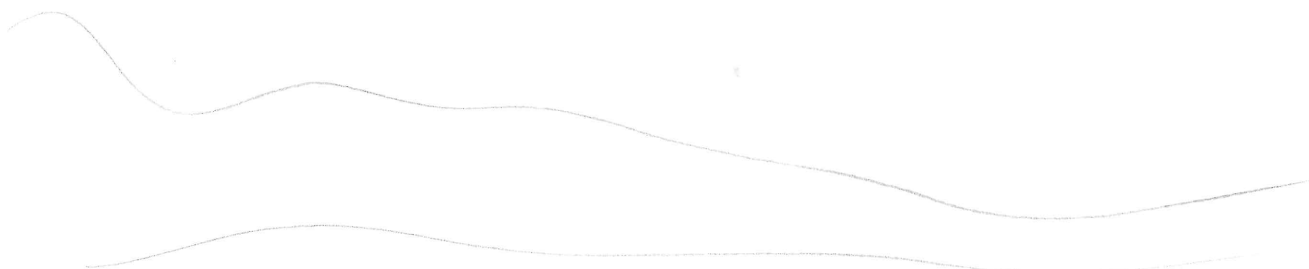
$$\hookrightarrow - \frac{j\omega Z_0 C + \omega^2 CL}{\omega^2 C^2 L^2 + \omega^2 Z_0^2 C^2} \rightarrow \text{da qua si sceglie } Z_0!$$

$$f_c = \frac{L}{\pi \sqrt{LC}}; |AV(\phi)| = \frac{Z_0}{2} \text{ ngm} \rightarrow \text{in qualche modo simile alla struttura continua!}$$

$$f_T = \frac{n_{gm}}{2\pi C_S} \quad \text{dove } n_{opt} = \frac{\log \left(\frac{A_D}{A_G} \right)}{A_D - f_c}$$

A_D e A_G attenuazioni delle linee, delle celle

Guadagni modesti (10dB), e man mano che si va verso l'alto, si guadagna sempre più. Bisogna insomma b'hinde, per far gestire più gradi, allungando le periferie, per mantenere il sincronismo.



Low noise amplifier

I parametri di progetto sono:

- $\left\{ \begin{array}{l} NF_{min} \rightarrow \text{minimo NP del dispositivo} \\ Z_{noise} \rightarrow \text{impedenza ottima per il rumore!} \end{array} \right.$
- \hookrightarrow dovrò usare una rete per "mostrar" ciò al FET.

Si ottimizza il rumore, NON il guadagno.

Che si può fare per tirar su il guadagno? Metter una L_s :



$$Z_{in} = \frac{V_{in}}{I_{in}} \rightarrow V_{in} = I_{in} \frac{1}{j\omega C} + I_{in} j\omega L \xrightarrow{\text{ign} \frac{I_{in}}{j\omega C}} j\omega L$$

\hookrightarrow Dato che il generatore ha impedenza R_g :

$$\begin{aligned} -\frac{L}{\omega C} + \omega(L_s + L_g) &= \phi \\ \frac{q_m L_s}{C \omega} &= R_g \end{aligned}$$

\rightarrow questa è la condizione di oscillabilità.
(singola frequenza)

} Si ha guadagno elevato e NF di poco maggiore alla minima.

$$\text{Vedendo minimizzare NF, si lavora su } Q_L = \frac{\omega(L_g + L_s)}{R_g}$$

$$1) \text{ fissa } L_s = \frac{R_g}{\omega \tau};$$

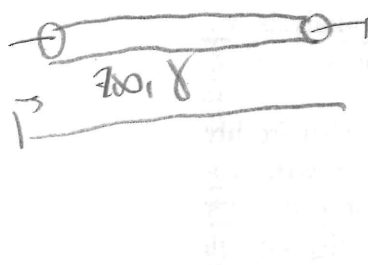
$$2) \text{ Ottimizza } \omega \text{ con } L_g$$

$$3) \text{ Calcolo } C_{as} = \frac{1}{\omega^2(L_s + L_g)}$$

$$= \frac{Z_L(1+\exp) + 2\alpha(L-\exp)}{Z_L(1-\exp) - 2\alpha(1+\exp)} \Rightarrow \frac{\frac{Z_L + 2\alpha}{2\alpha + Z_L} \frac{1+\exp}{1-\exp}}{\frac{1-\exp}{1+\exp}} \Rightarrow$$

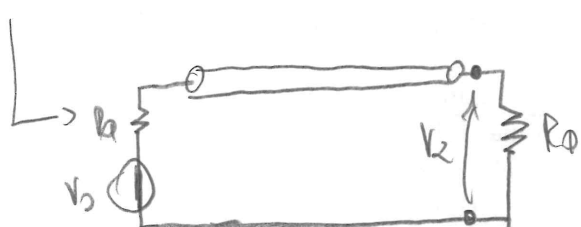
$$\Rightarrow Z_m, Z_\infty \frac{Z_L + 2\alpha \tanh(jL)}{Z_\infty + Z_L \tanh(jL)} \quad \text{caso:} \quad \begin{array}{ll} Z_L = 2\alpha & L = \lambda/4 \\ Z_L = 0 & L \neq \lambda/8 \\ Z_L \rightarrow \infty & \end{array}$$

Si consideri adesso che capite se $Z_0 + Z_\infty$?



$$Z_m = Z_0 \frac{1 + \Gamma_m}{1 - \Gamma_m} \quad \Gamma_m = \Gamma_L \exp(-j2nL)$$

$$\Gamma_L = \frac{R_0 - Z_0}{R_0 + Z_0}$$



$$S_{21} = 2 \frac{V_2}{V_0}$$

$$= 2 \frac{V_2}{V_0} \left(\frac{V_L}{V_0} \right) = 2 \frac{V_2}{V_0} \frac{1 + \Gamma_L}{2}$$

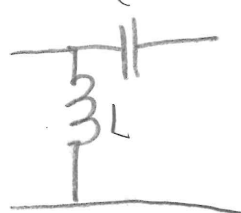
$$V(z) = V^+(z) [1 + \Gamma(z)] \quad ; \quad V_L = V_L^+ [1 + \Gamma_L] \quad ; \quad V_0 = V_L^+ \exp(-jKL) [1 + \Gamma_L] \quad ;$$

$$V_0 = V_L^+ \exp(-jKL) \frac{1 + \Gamma_L}{1 + \Gamma_L \exp(-j2nL)}$$

$$\Rightarrow \frac{V_2}{V_0} = \exp(-jKL) \frac{1 + \Gamma_L}{1 + \Gamma_0}$$

Parametri \leq - estrazi.

1) Calcolare \leq di:



$$L = 9.5 \cdot 10^{-8} \text{ H} ;$$

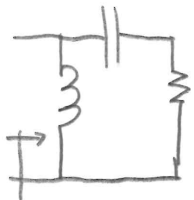
$$C = 53 \cdot 10^{-11} \text{ F} ;$$

$$f = 100 \text{ MHz} ;$$

$$R_0 = 50 \Omega$$

$$\hookrightarrow Z_L = j60\Omega ; Z_C = -j30\Omega ; \text{ (basta sostituirlo)}$$

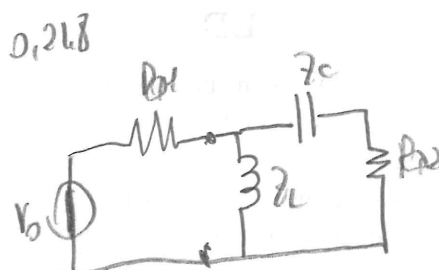
Sui:



$$S_{11} = \frac{Z_m - Z_{01}}{Z_m + Z_{01}} ; \quad Z_m = (50 - j30) \oplus j60$$

$$= 0,096 + j0,216$$

$$S_{21} : S_{21} = 2 \frac{V_2}{V_0} \text{ in questo circuito:}$$



$$\hookrightarrow V_2 = V_0 \cdot \frac{Z_L \oplus (R_{02} + Z_C)}{Z_L \oplus (R_{02} + Z_C) + R_{01}} \cdot \frac{R_{02}}{Z_C + R_{02}}$$

$$\text{Ma: } S_{11} = \frac{Z_m - Z_{01}}{Z_m + Z_{01}} = \frac{Z_m + Z_{01} - 2Z_{01}}{\dots} = 1 - 2 \frac{Z_{01}}{Z_m + Z_{01}} = S_{11}$$

$$\rightarrow Z_m - 2Z_{01} - 2Z_{02} = S_{11} Z_m + 2S_{11} S_{21} \rightarrow Z_m (1 - S_{11}) = +2Z_{02} + 2S_{11} S_{21}$$

$$\hookrightarrow Z_m = Z_{01} \frac{1 + S_{11}}{1 - S_{11}} \rightarrow \frac{Z_m}{Z_m + 2Z_{01}} = \frac{Z_{01} \frac{1 + S_{11}}{1 - S_{11}}}{2Z_{01} + 2Z_{01} \frac{1 + S_{11}}{1 - S_{11}}} = \frac{1 - S_{11}}{(1 - S_{11})Z_{01} + (1 + S_{11})Z_{01}}$$

$$\rightarrow \frac{1 + S_{11}}{2} V_0$$

$$\left\{ \begin{array}{l} \alpha = \frac{V}{\sqrt{Z_0}} \\ b_2 = \frac{V}{\sqrt{Z_0}} \end{array} \right. ; \quad \left\{ \begin{array}{l} b_1 = \frac{V}{\sqrt{Z_0}} \\ \alpha_L = \frac{V}{\sqrt{Z_0}} \end{array} \right.$$

scegliendo $Z_0 = Z_00$ per tutto

$$\hookrightarrow \frac{b_L}{\alpha} = \Pi_L = \frac{Z_L - Z_0}{Z_L + Z_0} ;$$

$$V_0^+ = V_L^- \exp(-j2\pi f L) \rightarrow \Pi_L = \Pi_L \exp(-j2\pi f L) ; \quad Z_m = \frac{1 + \Pi_m}{1 - \Pi_m} Z_\infty$$

$$= Z_\infty \frac{1 + \Pi_L \exp(-j2\pi f L)}{1 - \Pi_L \exp(-j2\pi f L)} = \frac{1 + \frac{Z_L - Z_0}{Z_L + Z_0} \exp(-j2\pi f L)}{1 - \frac{Z_L - Z_0}{Z_L + Z_0} \exp(-j2\pi f L)} = \frac{(Z_L + Z_0) + (Z_L - Z_0) \exp(-j2\pi f L)}{(Z_L + Z_0) - (Z_L - Z_0) \exp(-j2\pi f L)}$$